

## รายการอ้างอิง

### ภาษาไทย

อรุณี เจริญราช. แคลคูลัส เล่ม 3. พิมพ์ครั้งที่ 2. กรุงเทพมหานคร: โรงพิมพ์จุฬาลงกรณ์มหาวิทยาลัย, 2533.

### ภาษาอังกฤษ

Balanis, C. A. Advanced engineering electromagnetics. Singapore: John Wiley & Sons, 1989.

Beeckman, P. A. Prediction of the Fresnel region field of a compact antenna test range with serrated edges. IEE Proceedings Part H, 133 (April 1986) : 108-114.

Burden, R. L., and Faires, J. D. Numerical Analysis. 5th ed. Boston: PWS Publishing Co., 1993.

Chu, T. S., and Turrin R. H. Depolarization Properties of Offset Reflector Antennas. IEEE Trans. Antennas and Propagation AP-21 (May 1973) : 339-345.

Claricoats, P. J. B. Some recent advances in microwave reflector antennas. Proceedings of the IEE 126 (January 1979) : 9-25.

\_\_\_\_\_, Oliver, A. D., Kishk, A. A., and Shafai, L. Microwave Horns and Feeds. New York: IEEE Press, 1994.

\_\_\_\_\_, and Poulton, G. T. High-Efficiency Microwave Reflector Antennas - A Review. Proceedings of the IEEE 65 (October 1977) : 1470-1504.

Collin, R. E. Antennas and Radiowave Propagation. Singapore: McGraw-Hill Book Co., 1985.

Duan, D. W., and Rahmat-Samii, Y. A Generalized Diffraction Synthesis Technique for High Performance Reflector Antennas. IEEE Trans. Antennas and Propagation AP-43 (January 1995) : 27-40.

\_\_\_\_\_, Rahmat-Samii, Y., and Mahon, J. P. Scattering from a Circular Disk: A Comparative Study of PTD and GTD Techniques. Proceedings of the IEEE 79 (October 1991) : 1472-1480.

Felsen, L. B., and Marcuvitz, N. Radiation and Scattering of Waves. New Jersey: Prentice-Hall Inc., Englewood Cliffs, 1973.

Franceschetti, G., and Mohsen, A. Recent developments in the analysis of reflector antennas. A Review. IEE Proceedings Part H, 133 (February 1986) : 65-76.

Fresnel-Integral Approximation. IEEE Antennas and Propagation Magazine 37 (April 1995) : 99-100.

- Ishimaru, A. Electromagnetic Wave Propagation, Radiation and Scattering. Singapore: Prentice-Hall International Inc., 1991.
- James, G. L. An Approximation to the Fresnel Integral. Proceedings of the IEEE 67 (April 1979) : 677-678.
- \_\_\_\_\_. Reflector Antenna Radiation Pattern Analysis by Equivalent Edge Currents. IEEE Trans. Antennas and Propagation AP-21 (January 1973) : 19-24.
- Kauffman, J. F., Croswell, W. F., and Jowers, L. J. Analysis of the Radiation Patterns of Reflector Antennas. IEEE Trans. Antennas and Propagation AP-24 (January 1976) : 53-65.
- Keller, J. B. Geometrical Theory of Diffraction. Journal of the Optical Society of America 52 (February 1962) : 116-130.
- Kildal, P. S. The Effects of Subreflector Diffraction on the Aperture Efficiency of a Conventional Cassegrain Antenna-An Analytical Approach. IEEE Trans. Antennas and Propagation AP-31 (November 1983) : 903-909.
- Knott, E. F., and Thomas, B. A. Comparison of Three High-Frequency Diffraction Techniques. Proceedings of the IEEE 62 (November 1974) : 1468-1474.
- Kouyoumjian, R. G., and Pathak, P. H. A Uniform Geometrical Theory of Diffraction for an Edge in a Perfectly Conducting Surface. Proceedings of the IEEE 62 (November 1974) : 1448-1461.
- Ludwig, A. C. The definition of cross polarization. IEEE Trans. Antennas and Propagation AP-21 (January 1973) : 116-119.
- Mentzer, C. A., and Peters, L. A GTD Analysis of the Far-Out Sidelobes of Cassegrain Antennas. IEEE Trans. Antennas and Propagation AP-23 (September 1975) : 702-709.
- Michaeli, A. Equivalent Edge Currents for Arbitrary Aspects of Observation. IEEE Trans. Antennas and Propagation AP-32 (March 1984) : 252-258.
- Narasimhan, M. S., and Prasad, K. M. GTD Analysis of the Near-Field Patterns of a Prime-Focus Symmetric Paraboloidal Reflector Antenna. IEEE Trans. Antennas and Propagation AP-29 (November 1981) : 959-961.
- Rudge, A. W. Offset-Parabolic-Reflector Antennas: A Review. Proceedings of the IEEE 66 (December 1978) : 1592-1618.
- Rusch, W. V. T. The Current State of the Reflector Antenna Art. IEEE Trans. Antennas and Propagation AP-32 (April 1984) : 313-329.
- Ryan, C. E., and Peters, L. Evaluation of Edge-Diffracted Fields Including Equivalent Currents for the Caustic Regions. IEEE Trans. Antennas and Propagation AP-17 (May 1969) : 292-299.

- Sanad, M. S. A., and Shafai, L. An Extended Aperture Integration Method for Reflector Antennas. IEEE AP-S Symposium, Philadelphia 2 (June 1986) : 647-650.
- Shore, R. A., and Yaghjian, A. D. Application of Incremental Length Diffraction Coefficients to Calculate the Pattern Effects of the Rim and Surface Cracks of a Reflector Antenna. IEEE Trans. Antennas and Propagation AP-41 (January 1993) : 1-11.
- Silver, S. Microwave Antenna Theory and Design. New York: McGraw-Hill Book Co., 1949.
- Sletten, C. J. Reflector and Lens Antennas. Artech House Co., 1991.
- Struik, D. J. Lectures on Differential Geometry. London: Addison-Wesley Publishing Co., 1961.

ภาคผนวก

ภาคผนวก ก.

การวิเคราะห์เวกเตอร์ ฟังก์ชันเบสเซล และเอกลักษณ์ของฟังก์ชันเบสเซล

### พีชคณิตเวกเตอร์

ถ้า  $\vec{A}, \vec{B}$  และ  $\vec{C}$  เป็นเวกเตอร์ในระบบพิกัดที่ตั้งฉากกันที่มีเวกเตอร์หนึ่งหน่วยของระบบแกนพิกัดคือ  $\hat{u}_1, \hat{u}_2$  และ  $\hat{u}_3$  ซึ่งมีความสัมพันธ์กันตามกฎมือขวา ดังนั้น  $\vec{A} = A_1\hat{u}_1 + A_2\hat{u}_2 + A_3\hat{u}_3$ ,  $\vec{B} = B_1\hat{u}_1 + B_2\hat{u}_2 + B_3\hat{u}_3$  และ  $\vec{C} = C_1\hat{u}_1 + C_2\hat{u}_2 + C_3\hat{u}_3$  และพีชคณิตเวกเตอร์เป็นดังนี้

$$\vec{A} \pm \vec{B} = (A_1 \pm B_1)\hat{u}_1 + (A_2 \pm B_2)\hat{u}_2 + (A_3 \pm B_3)\hat{u}_3 \quad (\text{ก.1})$$

$$\vec{A} \cdot \vec{B} = |\vec{A}| |\vec{B}| \cos \theta = A_1B_1 + A_2B_2 + A_3B_3 \quad (\text{ก.2})$$

โดยที่  $\theta$  คือมุมระหว่าง  $\vec{A}$  กับ  $\vec{B}$

$$\vec{A} \times \vec{B} = (A_2B_3 - A_3B_2)\hat{u}_1 + (A_3B_1 - A_1B_3)\hat{u}_2 + (A_1B_2 - A_2B_1)\hat{u}_3 \quad (\text{ก.3})$$

$$|\vec{A} \times \vec{B}| = |\vec{A}| |\vec{B}| \sin \theta \quad (\text{ก.4})$$

$$\vec{A} \cdot (\vec{B} \times \vec{C}) = \vec{C} \cdot (\vec{A} \times \vec{B}) = \vec{B} \cdot (\vec{C} \times \vec{A}) \quad (\text{ก.5})$$

$$\vec{A} \times \vec{B} = -\vec{B} \times \vec{A} \quad (\text{ก.6})$$

$$\vec{A} \times (\vec{B} \times \vec{C}) = (\vec{A} \cdot \vec{C})\vec{B} - (\vec{A} \cdot \vec{B})\vec{C} \quad (\text{ก.7})$$

### เกรเดียนต์ ไดเวอร์เจนซ์ และเคิร์ลในระบบพิกัดที่ตั้งฉากกัน

ถ้าตัวแปรของระบบพิกัด (coordinate variables) ที่ตั้งฉากกันคือ  $v_1, v_2, v_3$  และเวกเตอร์หนึ่งหน่วย (unit vector) ของระบบพิกัดคือ  $\hat{u}_1, \hat{u}_2, \hat{u}_3$  ซึ่งมีความสัมพันธ์กันตามกฎมือขวา และสัมประสิทธิ์ของเมตริก (metric coefficients) เป็น  $h_1, h_2, h_3$ ,  $\Omega = h_1h_2h_3$  และ  $\Phi$  เป็นปริมาณสเกลาร์ที่เป็นฟังก์ชันของตัวแปรของระบบพิกัด และ  $\vec{A}$  เป็นเวกเตอร์ในระบบพิกัดที่ตั้งฉากกัน ดังนั้น

เกรเดียนต์ของ  $\Phi$

$$\nabla\Phi = \sum_i \hat{u}_i \frac{\partial\Phi}{\partial v_i} \quad (\text{n.8})$$

เกรเดียนต์ของของ  $\bar{A}$

$$\nabla\bar{A} = \sum_i \hat{u}_i \frac{\partial\bar{A}}{\partial v_i} \quad (\text{n.9})$$

ไดเวอร์เจนซ์ของ  $\bar{A}$

$$\nabla \cdot \bar{A} = \sum_i \hat{u}_i \cdot \frac{\partial\bar{A}}{\partial v_i} = \sum_i \frac{1}{\Omega} \frac{\partial}{\partial v_i} \left( \frac{\Omega}{h_i} A_i \right) \quad (\text{n.10})$$

ลาปลาเซียนของ  $\Phi$

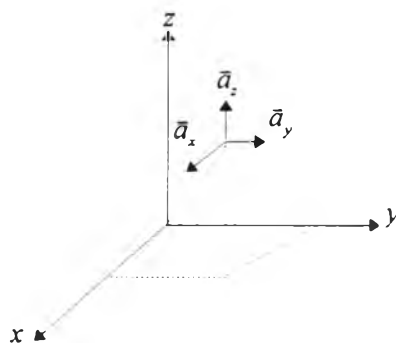
$$\nabla^2\Phi = \nabla \cdot \nabla\Phi = \sum_i \frac{1}{\Omega} \frac{\partial}{\partial v_i} \left( \frac{\Omega}{h_i^2} \frac{\partial\Phi}{\partial v_i} \right) \quad (\text{n.11})$$

ลาปลาเซียนของ  $\bar{A}$

$$\nabla^2\bar{A} = \nabla \cdot \nabla\bar{A} = \sum_i \hat{u}_i \cdot \frac{\partial}{\partial v_i} \left( \sum_j \hat{u}_j \frac{\partial\bar{A}}{\partial v_j} \right) = \sum_i \frac{1}{\Omega} \frac{\partial}{\partial v_i} \left( \frac{\Omega}{h_i^2} \frac{\partial\bar{A}}{\partial v_i} \right) \quad (\text{n.12})$$

การดำเนินการต่าง ๆ ข้างต้นเป็นการดำเนินการสำหรับในระบบพิกัดที่ตั้งฉากกัน แต่ระบบพิกัดที่ตั้งฉากกันที่นำมาใช้ส่วนใหญ่คือ ระบบพิกัดคาร์ทีเซียน ระบบพิกัดทรงกรวย และระบบพิกัดทรงกลม ดังนั้นในภาคผนวกนี้จะกล่าวเพียงระบบพิกัดทั้งสามดังนี้

1. ระบบพิกัดคาร์ทีเซียน ดังรูป n.1 ตัวแปรของระบบพิกัด  $v_1, v_2, v_3 = x, y, z$  สัมประสิทธิ์ของเมตริก  $h_1, h_2, h_3 = 1, 1, 1$  และเวกเตอร์หนึ่งหน่วยของระบบแกนพิกัด  $\hat{u}_1, \hat{u}_2, \hat{u}_3 = \bar{a}_x, \bar{a}_y, \bar{a}_z$  ดังนั้น



รูป n.1 ระบบพิกัดคาร์ทีเซียน

$$\nabla\Phi = \frac{\partial\Phi}{\partial x} \bar{a}_x + \frac{\partial\Phi}{\partial y} \bar{a}_y + \frac{\partial\Phi}{\partial z} \bar{a}_z \quad (\text{n.13})$$

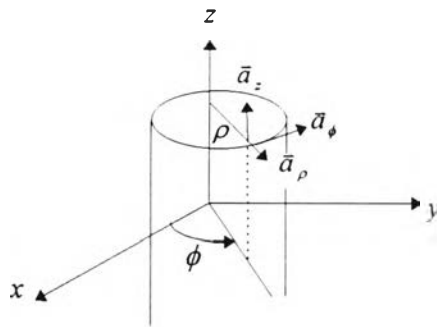
$$\nabla \cdot \vec{A} = \frac{\partial A_x}{\partial x} + \frac{\partial A_y}{\partial y} + \frac{\partial A_z}{\partial z} \quad (\text{ก.14})$$

$$\nabla \times \vec{A} = \vec{a}_x \left( \frac{\partial A_z}{\partial y} - \frac{\partial A_y}{\partial z} \right) + \vec{a}_y \left( \frac{\partial A_x}{\partial z} - \frac{\partial A_z}{\partial x} \right) + \vec{a}_z \left( \frac{\partial A_y}{\partial x} - \frac{\partial A_x}{\partial y} \right) \quad (\text{ก.15})$$

$$\nabla^2 \Phi = \frac{\partial^2 \Phi}{\partial x^2} + \frac{\partial^2 \Phi}{\partial y^2} + \frac{\partial^2 \Phi}{\partial z^2} \quad (\text{ก.16})$$

$$\nabla^2 \vec{A} = \vec{a}_x \nabla^2 A_x + \vec{a}_y \nabla^2 A_y + \vec{a}_z \nabla^2 A_z \quad (\text{ก.17})$$

2. ระบบพิกัดทรงกรวยนอก ดังรูป ก.2 ตัวแปรของระบบพิกัด  $v_1, v_2, v_3 = \rho, \phi, z$  สัมประสิทธิ์ของเมตริก  $h_1, h_2, h_3 = 1, \rho, 1$  และเวกเตอร์หนึ่งหน่วยของระบบแกนพิกัด  $\hat{u}_1, \hat{u}_2, \hat{u}_3 = \vec{a}_\rho, \vec{a}_\phi, \vec{a}_z$  ดังนั้น



รูป ก.2 ระบบพิกัดทรงกรวยนอก

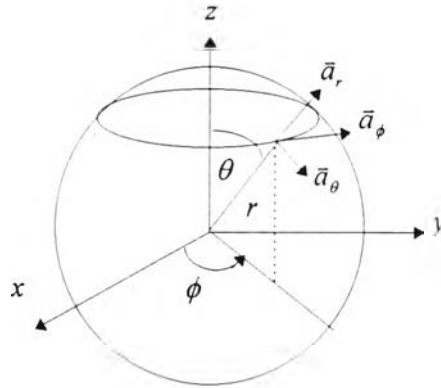
$$\nabla \Phi = \frac{\partial \Phi}{\partial \rho} \vec{a}_\rho + \frac{1}{\rho} \frac{\partial \Phi}{\partial \phi} \vec{a}_\phi + \frac{\partial \Phi}{\partial z} \vec{a}_z \quad (\text{ก.18})$$

$$\nabla \cdot \vec{A} = \frac{1}{\rho} \frac{\partial}{\partial \rho} (\rho A_\rho) + \frac{1}{\rho} \frac{\partial A_\phi}{\partial \phi} + \frac{\partial A_z}{\partial z} \quad (\text{ก.19})$$

$$\nabla \times \vec{A} = \vec{a}_\rho \left( \frac{1}{\rho} \frac{\partial A_z}{\partial \phi} - \frac{\partial A_\phi}{\partial z} \right) + \vec{a}_\phi \left( \frac{\partial A_\rho}{\partial z} - \frac{\partial A_z}{\partial \rho} \right) + \vec{a}_z \left( \frac{\partial}{\partial \rho} (\rho A_\phi) - \frac{\partial A_\rho}{\partial \phi} \right) \quad (\text{ก.20})$$

$$\nabla^2 \Phi = \frac{1}{\rho} \frac{\partial}{\partial \rho} \left( \rho \frac{\partial \Phi}{\partial \rho} \right) + \frac{1}{\rho^2} \frac{\partial^2 \Phi}{\partial \phi^2} + \frac{\partial^2 \Phi}{\partial z^2} \quad (\text{ก.21})$$

3. ระบบพิกัดทรงกลม ดังรูป ก.3 ตัวแปรของระบบพิกัด  $v_1, v_2, v_3 = r, \theta, \phi$  สัมประสิทธิ์ของเมตริก  $h_1, h_2, h_3 = 1, r, r \sin \theta$  และเวกเตอร์หนึ่งหน่วยของระบบแกนพิกัด  $\hat{u}_1, \hat{u}_2, \hat{u}_3 = \bar{a}_r, \bar{a}_\theta, \bar{a}_\phi$  ดังนั้น



รูป ก.3 ระบบพิกัดทรงกลม

$$\nabla \Phi = \frac{\partial \Phi}{\partial r} \bar{a}_r + \frac{1}{r} \frac{\partial \Phi}{\partial \theta} \bar{a}_\theta + \frac{1}{r \sin \theta} \frac{\partial \Phi}{\partial \phi} \bar{a}_\phi \quad (\text{ก.23})$$

$$\nabla \cdot \bar{A} = \frac{1}{r^2} \frac{\partial}{\partial r} r^2 A_r + \frac{1}{r \sin \theta} \frac{\partial}{\partial \theta} A_\theta \sin \theta + \frac{1}{r \sin \theta} \frac{\partial A_\phi}{\partial \phi} \quad (\text{ก.24})$$

$$\nabla \times \bar{A} = \frac{\bar{a}_r}{r \sin \theta} \left( \frac{\partial}{\partial \theta} A_\phi \sin \theta - \frac{\partial A_\theta}{\partial \phi} \right) + \frac{\bar{a}_\theta}{r} \left( \frac{1}{\sin \theta} \frac{\partial A_r}{\partial \phi} - \frac{\partial}{\partial r} r A_\phi \right) + \frac{\bar{a}_\phi}{r} \left( \frac{\partial}{\partial r} r A_\theta - \frac{\partial A_r}{\partial \theta} \right) \quad (\text{ก.25})$$

$$\nabla^2 \Phi = \frac{1}{r^2} \frac{\partial}{\partial r} \left( r^2 \frac{\partial \Phi}{\partial r} \right) + \frac{1}{r^2 \sin \theta} \frac{\partial}{\partial \theta} \left( \sin \theta \frac{\partial \Phi}{\partial \theta} \right) + \frac{1}{r^2 \sin^2 \theta} \frac{\partial^2 \Phi}{\partial \phi^2} \quad (\text{ก.26})$$

### เอกลักษณ์เวกเตอร์

ถ้า  $\Phi, \Psi$  เป็นปริมาณสเกลาร์ และ  $\bar{A}, \bar{B}$  เป็นเวกเตอร์ เอกลักษณ์เวกเตอร์มีดังนี้

$$\nabla(\Phi\Psi) = \Psi\nabla\Phi + \Phi\nabla\Psi \quad (\text{ก.27})$$

$$\nabla \cdot (\Psi\bar{A}) = \bar{A} \cdot \nabla\Psi + \Psi\nabla \cdot \bar{A} \quad (\text{ก.28})$$

$$\nabla \cdot (\bar{A} \times \bar{B}) = (\nabla \times \bar{A}) \cdot \bar{B} - (\nabla \times \bar{B}) \cdot \bar{A} \quad (\text{ก.29})$$

$$\nabla \times (\Psi\bar{A}) = \nabla\Psi \times \bar{A} + \Psi\nabla \times \bar{A} \quad (\text{ก.30})$$



$$\nabla \times (\vec{A} \times \vec{B}) = \vec{A} \nabla \cdot \vec{B} - \vec{B} \nabla \cdot \vec{A} + (\vec{B} \cdot \nabla) \vec{A} - (\vec{A} \cdot \nabla) \vec{B} \quad (\text{n.31})$$

$$\nabla (\vec{A} \cdot \vec{B}) = (\vec{A} \cdot \nabla) \vec{B} + (\vec{B} \cdot \nabla) \vec{A} + \vec{A} \times (\nabla \times \vec{B}) + \vec{B} \times (\nabla \times \vec{A}) \quad (\text{n.32})$$

$$\nabla \cdot \nabla \Phi = \nabla^2 \Phi \quad (\text{n.33})$$

$$\nabla \cdot \nabla \vec{A} = \nabla^2 \vec{A} \quad (\text{n.34})$$

$$\nabla \cdot (\nabla \times \vec{A}) = 0 \quad (\text{n.35})$$

$$\nabla \times \nabla \Phi = 0 \quad (\text{n.36})$$

$$\nabla \times (\nabla \times \vec{A}) = \nabla (\nabla \cdot \vec{A}) - \nabla^2 \vec{A} \quad (\text{n.37})$$

#### เอกลักษณ์ไดแอดิก

ถ้า  $\Psi$  เป็นปริมาณสเกลาร์  $\vec{A}$ ,  $\vec{B}$  เป็นเวกเตอร์ และ  $\vec{B}$ ,  $\vec{C}$  เป็นปริมาณแบบไดแอดิก เอกลักษณ์ไดแอดิกมีดังนี้

$$\vec{A} \cdot (\vec{B} \times \vec{C}) = -\vec{B} \cdot (\vec{A} \times \vec{C}) = (\vec{A} \times \vec{B}) \cdot \vec{C} \quad (\text{n.38})$$

$$\vec{A} \times (\vec{B} \times \vec{C}) = \vec{B} \cdot (\vec{A} \times \vec{C}) - (\vec{A} \cdot \vec{B}) \vec{C} \quad (\text{n.39})$$

$$\nabla (\Psi \vec{A}) = \Psi \nabla \vec{A} + \vec{A} \nabla \Psi \quad (\text{n.40})$$

$$\nabla \cdot (\Psi \vec{C}) = \Psi \nabla \cdot \vec{C} + \vec{C} \cdot \nabla \Psi \quad (\text{n.41})$$

$$\nabla \times (\Psi \vec{C}) = \Psi \nabla \times \vec{C} + \vec{C} \times \nabla \Psi \quad (\text{n.42})$$

$$\nabla \times (\nabla \times \vec{C}) = \nabla (\nabla \cdot \vec{C}) - \nabla^2 \vec{C} \quad (\text{n.43})$$

$$\nabla \cdot (\nabla \times \vec{C}) = 0 \quad (\text{n.44})$$

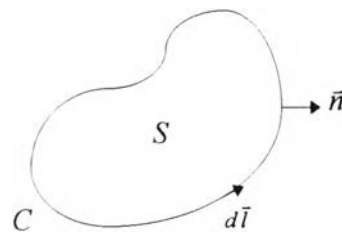
$$\vec{A} \cdot \vec{C} = (\vec{C})^T \cdot \vec{A} \quad (\text{n.45})$$

$$\vec{A} \times \vec{C} = -\left[ (\vec{C})^T \times \vec{A} \right]^T \quad (\text{ก.46})$$

$$(\vec{C})^T \cdot (\vec{A} \times \vec{B}) = -(\vec{A} \times \vec{C})^T \cdot \vec{B} \quad (\text{ก.46})$$

### ทฤษฎีอินทิกรัล

ถ้าให้  $\Phi$  และ  $\vec{A}$  เป็นปริมาณสเกลาร์และเวกเตอร์ที่ต่อเนื่องและมีอนุพันธ์อันดับแรกต่อเนื่องในปริมาตร  $V$  และบนพื้นผิว  $S$  และมีเส้นวงปิด  $C$  ล้อมรอบ  $S$  ดังรูป ก.4 แล้ว



รูป ก.4 พื้นผิว  $S$  กับเส้นวงปิด  $C$

ทฤษฎีเกรเดียนต์ (gradient theorem)

$$\int_V \nabla \Phi dV = \int_S \hat{n} \Phi dS \quad (\text{ก.33})$$

ทฤษฎีไดเวอร์เจนซ์ (divergence theorem)

$$\int_V (\nabla \cdot \vec{A}) dV = \int_S (\hat{n} \cdot \vec{A}) dS \quad (\text{ก.34})$$

ทฤษฎีเคิร์ล (curl theorem)

$$\int_V (\nabla \times \vec{A}) dV = \int_S (\hat{n} \times \vec{A}) dS \quad (\text{ก.35})$$

ทฤษฎีของสโตก (Stokes' theorem)

$$\int_S \hat{n} \cdot (\nabla \times \vec{A}) dS = \int_C \vec{A} \cdot d\vec{l} \quad (\text{ก.37})$$

โดยที่  $h$  คือ เวกเตอร์หนึ่งหน่วยที่ตั้งฉากกับพื้นผิว  $S$  ดังรูป ก.4

#### การแปลงระบบพิกัด

การแปลงระบบพิกัดมีความสำคัญมากในการวิเคราะห์ระบบสายอากาศชนิดงานสะท้อนคลื่น เนื่องจากในระบบสายอากาศชนิดนี้ประกอบไปด้วย สายอากาศป้อนกำลังคลื่น งานสะท้อน ซึ่งมีระบบพิกัดแตกต่างกัน ดังนั้นจำเป็นต้องมีการแปลงระบบพิกัดเพื่อให้อยู่ในระบบพิกัดเดียวกันหรือหาความสัมพันธ์ระหว่างระบบพิกัด ซึ่งในภาคผนวกนี้ได้กล่าวถึงการแปลงระบบพิกัดจากระบบพิกัดคาร์ทีเซียนไปเป็นระบบพิกัดทรงกรวย และจากระบบพิกัดทรงกรวยไปเป็นระบบพิกัดทรงกลม และจากระบบพิกัดคาร์ทีเซียนไปเป็นระบบพิกัดทรงกลม โดยที่ระบบพิกัดทั้งสามเป็นดังรูป ก.1 ก.2 และ ก.3 ไว้ดังนี้

1. การแปลงระบบพิกัดจากระบบพิกัดคาร์ทีเซียนไปเป็นระบบพิกัดทรงกรวย

ในระบบพิกัดคาร์ทีเซียนกับระบบพิกัดทรงกรวย ตัวแปรของระบบพิกัดมีความสัมพันธ์กันดังสมการ (ก.38)

$$x = \rho \cos \phi, \quad y = \rho \sin \phi \quad \text{และ} \quad z = z \quad (\text{ก.38})$$

สำหรับในระบบพิกัดคาร์ทีเซียน เราสามารถเขียนเวกเตอร์  $\vec{A}$  ได้เป็น

$$\vec{A} = A_x \vec{a}_x + A_y \vec{a}_y + A_z \vec{a}_z \quad (\text{ก.39})$$

โดยที่  $\vec{a}_x, \vec{a}_y, \vec{a}_z$  คือ เวกเตอร์หนึ่งหน่วยของระบบพิกัดคาร์ทีเซียน และ  $A_x, A_y, A_z$  คือ องค์ประกอบของเวกเตอร์  $\vec{A}$  ในทิศทาง  $\vec{a}_x, \vec{a}_y, \vec{a}_z$  ตามลำดับ และในทำนองเดียวกันในระบบพิกัดทรงกรวยก็สามารถเขียนเวกเตอร์  $\vec{A}$  ได้เป็น

$$\vec{A} = A_\rho \vec{a}_\rho + A_\phi \vec{a}_\phi + A_z \vec{a}_z \quad (\text{ก.40})$$

โดยที่  $\vec{a}_\rho, \vec{a}_\phi, \vec{a}_z$  คือ เวกเตอร์หนึ่งหน่วยของระบบพิกัดทรงกรวย และ  $A_\rho, A_\phi, A_z$  คือ องค์ประกอบของเวกเตอร์  $\vec{A}$  ในทิศทาง  $\vec{a}_\rho, \vec{a}_\phi, \vec{a}_z$  ตามลำดับ และจากรูป ก.1 และ ก.2 จะพบว่า

$$\begin{aligned} \vec{a}_x &= \vec{a}_\rho \cos \phi - \vec{a}_\phi \sin \phi \\ \vec{a}_y &= \vec{a}_\rho \sin \phi + \vec{a}_\phi \cos \phi \\ \vec{a}_z &= \vec{a}_z \end{aligned} \quad (\text{ก.41})$$

จากสมการ (ก.41) สามารถหาความสัมพันธ์ขององค์ประกอบของเวกเตอร์  $\vec{A}$  ในระบบพิกัดคาร์ทีเซียนกับระบบพิกัดทรงกรวยเป็นดังสมการ (ก.42) และ (ก.43)

$$\begin{aligned} A_\rho &= \vec{A} \cdot \vec{a}_\rho = A_x (\vec{a}_x \cdot \vec{a}_\rho) + A_y (\vec{a}_y \cdot \vec{a}_\rho) + A_z (\vec{a}_z \cdot \vec{a}_\rho) = A_x \cos \phi + A_y \sin \phi \\ A_\phi &= \vec{A} \cdot \vec{a}_\phi = A_x (\vec{a}_x \cdot \vec{a}_\phi) + A_y (\vec{a}_y \cdot \vec{a}_\phi) + A_z (\vec{a}_z \cdot \vec{a}_\phi) = -A_x \sin \phi + A_y \cos \phi \\ A_z &= \vec{A} \cdot \vec{a}_z = A_x (\vec{a}_x \cdot \vec{a}_z) + A_y (\vec{a}_y \cdot \vec{a}_z) + A_z (\vec{a}_z \cdot \vec{a}_z) = A_z \end{aligned} \quad (\text{ก.42})$$

$$\begin{aligned}
A_x &= \vec{A} \cdot \vec{a}_x = A_\rho(\vec{a}_\rho \cdot \vec{a}_x) + A_\phi(\vec{a}_\phi \cdot \vec{a}_x) + A_z(\vec{a}_z \cdot \vec{a}_x) = A_\rho \cos \phi - A_\phi \sin \phi \\
A_y &= \vec{A} \cdot \vec{a}_y = A_\rho(\vec{a}_\rho \cdot \vec{a}_y) + A_\phi(\vec{a}_\phi \cdot \vec{a}_y) + A_z(\vec{a}_z \cdot \vec{a}_y) = A_\rho \sin \phi + A_\phi \cos \phi \\
A_z &= \vec{A} \cdot \vec{a}_z = A_\rho(\vec{a}_\rho \cdot \vec{a}_z) + A_\phi(\vec{a}_\phi \cdot \vec{a}_z) + A_z(\vec{a}_z \cdot \vec{a}_z) = A_z
\end{aligned} \tag{n.43}$$

จากสมการ (น.42) และ (น.43) เมื่อเขียนอยู่ในรูปเมตริกซ์จะได้

$$\begin{bmatrix} A_\rho \\ A_\phi \\ A_z \end{bmatrix} = \begin{bmatrix} \cos \phi & \sin \phi & 0 \\ -\sin \phi & \cos \phi & 0 \\ 0 & 0 & 1 \end{bmatrix} \begin{bmatrix} A_x \\ A_y \\ A_z \end{bmatrix} \tag{n.44}$$

$$\begin{bmatrix} A_x \\ A_y \\ A_z \end{bmatrix} = \begin{bmatrix} \cos \phi & -\sin \phi & 0 \\ \sin \phi & \cos \phi & 0 \\ 0 & 0 & 1 \end{bmatrix} \begin{bmatrix} A_\rho \\ A_\phi \\ A_z \end{bmatrix} \tag{n.44}$$

## 2. การแปลงระบบพิกัดจากระบบพิกัดทรงกรวยออกไปเป็นระบบพิกัดทรงกลม

ในระบบพิกัดทรงกรวยกับระบบพิกัดทรงกลม ตัวแปรของระบบพิกัดมีความสัมพันธ์กันดังสมการ (น.45)

$$\rho = r \sin \theta, \quad z = r \cos \theta \tag{n.45}$$

ในทำนองเดียวกับการแปลงระบบพิกัดจากระบบพิกัดคาร์ทีเซียนไปเป็นระบบพิกัดทรงกรวย จากรูป น.2 และ น.3 พบว่า

$$\begin{aligned}
\vec{a}_\rho &= \vec{a}_r \sin \theta + \vec{a}_\theta \cos \theta \\
\vec{a}_\phi &= \vec{a}_\phi \\
\vec{a}_z &= \vec{a}_r \cos \theta - \vec{a}_\theta \sin \theta
\end{aligned} \tag{n.46}$$

จากสมการ (น.46) สามารถหาความสัมพันธ์ขององค์ประกอบของเวกเตอร์  $\vec{A}$  ในระบบพิกัดทรงกรวยกับระบบพิกัดทรงกลมได้เป็น

$$\begin{aligned}
A_r &= \vec{A} \cdot \vec{a}_r = A_\rho(\vec{a}_\rho \cdot \vec{a}_r) + A_\phi(\vec{a}_\phi \cdot \vec{a}_r) + A_z(\vec{a}_z \cdot \vec{a}_r) = A_\rho \sin \theta + A_z \cos \theta \\
A_\theta &= \vec{A} \cdot \vec{a}_\theta = A_\rho(\vec{a}_\rho \cdot \vec{a}_\theta) + A_\phi(\vec{a}_\phi \cdot \vec{a}_\theta) + A_z(\vec{a}_z \cdot \vec{a}_\theta) = A_\rho \cos \theta - A_z \sin \theta \\
A_\phi &= \vec{A} \cdot \vec{a}_\phi = A_\rho(\vec{a}_\rho \cdot \vec{a}_\phi) + A_\phi(\vec{a}_\phi \cdot \vec{a}_\phi) + A_z(\vec{a}_z \cdot \vec{a}_\phi) = A_\phi
\end{aligned} \tag{n.47}$$

$$\begin{aligned}
A_\rho &= \vec{A} \cdot \vec{a}_\rho = A_r(\vec{a}_r \cdot \vec{a}_\rho) + A_\theta(\vec{a}_\theta \cdot \vec{a}_\rho) + A_\phi(\vec{a}_\phi \cdot \vec{a}_\rho) = A_r \sin \theta + A_\theta \cos \theta \\
A_\theta &= \vec{A} \cdot \vec{a}_\theta = A_r(\vec{a}_r \cdot \vec{a}_\theta) + A_\theta(\vec{a}_\theta \cdot \vec{a}_\theta) + A_\phi(\vec{a}_\phi \cdot \vec{a}_\theta) = A_\theta \\
A_z &= \vec{A} \cdot \vec{a}_z = A_r(\vec{a}_r \cdot \vec{a}_z) + A_\theta(\vec{a}_\theta \cdot \vec{a}_z) + A_\phi(\vec{a}_\phi \cdot \vec{a}_z) = A_r \cos \theta - A_\theta \sin \theta
\end{aligned} \tag{n.48}$$

จากสมการ (ก.42) และ (ก.43) เมื่อเขียนอยู่ในรูปเมตริกซ์จะได้

$$\begin{bmatrix} A_r \\ A_\theta \\ A_\phi \end{bmatrix} = \begin{bmatrix} \sin\theta & 0 & \cos\theta \\ \cos\theta & 0 & -\sin\theta \\ 0 & 1 & 0 \end{bmatrix} \begin{bmatrix} A_\rho \\ A_\phi \\ A_z \end{bmatrix} \quad (\text{ก.49})$$

$$\begin{bmatrix} A_\rho \\ A_\phi \\ A_z \end{bmatrix} = \begin{bmatrix} \sin\theta & \cos\theta & 0 \\ 0 & 0 & 1 \\ \cos\theta & -\sin\theta & 0 \end{bmatrix} \begin{bmatrix} A_r \\ A_\theta \\ A_\phi \end{bmatrix} \quad (\text{ก.50})$$

3. การแปลงระบบพิกัดจากระบบพิกัดคาร์ทีเซียนไปเป็นระบบพิกัดทรงกลม

ในระบบพิกัดคาร์ทีเซียนกับระบบพิกัดทรงกลม ตัวแปรของระบบพิกัดมีความสัมพันธ์กันดังสมการ (ก.51)

$$x = r \sin\theta \cos\phi, \quad y = r \sin\theta \sin\phi \quad \text{และ} \quad z = r \cos\theta \quad (\text{ก.51})$$

ในทำนองเดียวกับการแปลงระบบพิกัดจากระบบพิกัดคาร์ทีเซียนไปเป็นระบบพิกัดทรงกลม จากรูป ก.1 และ ก.3 พบว่า

$$\begin{aligned} \vec{a}_x &= \vec{a}_r \sin\theta \cos\phi + \vec{a}_\theta \cos\theta \cos\phi - \vec{a}_\phi \sin\phi \\ \vec{a}_y &= \vec{a}_r \sin\theta \sin\phi + \vec{a}_\theta \cos\theta \sin\phi + \vec{a}_\phi \cos\phi \\ \vec{a}_z &= \vec{a}_r \cos\theta - \vec{a}_\theta \sin\theta \end{aligned} \quad (\text{ก.52})$$

จากสมการ (ก.52) สามารถหาความสัมพันธ์ขององค์ประกอบของเวกเตอร์  $\vec{A}$  ในระบบพิกัดคาร์ทีเซียนกับระบบพิกัดทรงกลมได้เป็น

$$\begin{aligned} A_x &= \vec{A} \cdot \vec{a}_x = A_r(\vec{a}_r \cdot \vec{a}_x) + A_\theta(\vec{a}_\theta \cdot \vec{a}_x) + A_\phi(\vec{a}_\phi \cdot \vec{a}_x) = A_r \sin\theta \cos\phi + A_\theta \cos\theta \cos\phi - A_\phi \sin\theta \\ A_y &= \vec{A} \cdot \vec{a}_y = A_r(\vec{a}_r \cdot \vec{a}_y) + A_\theta(\vec{a}_\theta \cdot \vec{a}_y) + A_\phi(\vec{a}_\phi \cdot \vec{a}_y) = A_r \sin\theta \sin\phi + A_\theta \cos\theta \sin\phi + A_\phi \cos\theta \\ A_z &= \vec{A} \cdot \vec{a}_z = A_r(\vec{a}_r \cdot \vec{a}_z) + A_\theta(\vec{a}_\theta \cdot \vec{a}_z) + A_\phi(\vec{a}_\phi \cdot \vec{a}_z) = A_r \cos\theta - A_\theta \sin\theta \end{aligned} \quad (\text{ก.53})$$

$$\begin{aligned} A_r &= \vec{A} \cdot \vec{a}_r = A_x(\vec{a}_x \cdot \vec{a}_r) + A_y(\vec{a}_y \cdot \vec{a}_r) + A_z(\vec{a}_z \cdot \vec{a}_r) = A_x \sin\theta \cos\phi + A_y \sin\theta \sin\phi + A_z \cos\theta \\ A_\theta &= \vec{A} \cdot \vec{a}_\theta = A_x(\vec{a}_x \cdot \vec{a}_\theta) + A_y(\vec{a}_y \cdot \vec{a}_\theta) + A_z(\vec{a}_z \cdot \vec{a}_\theta) = A_x \cos\theta \cos\phi + A_y \cos\theta \sin\phi - A_z \sin\theta \\ A_\phi &= \vec{A} \cdot \vec{a}_\phi = A_x(\vec{a}_x \cdot \vec{a}_\phi) + A_y(\vec{a}_y \cdot \vec{a}_\phi) + A_z(\vec{a}_z \cdot \vec{a}_\phi) = -A_x \sin\phi + A_y \cos\phi \end{aligned} \quad (\text{ก.54})$$

จากสมการ (ก.53) และ (ก.54) เมื่อเขียนอยู่ในรูปเมตริกซ์จะได้

$$\begin{bmatrix} A_r \\ A_\theta \\ A_\phi \end{bmatrix} = \begin{bmatrix} \sin\theta \cos\phi & \sin\theta \sin\phi & \cos\theta \\ \cos\theta \cos\phi & \cos\theta \sin\phi & -\sin\theta \\ -\sin\phi & \cos\phi & 0 \end{bmatrix} \begin{bmatrix} A_x \\ A_y \\ A_z \end{bmatrix} \quad (ก.55)$$

$$\begin{bmatrix} A_x \\ A_y \\ A_z \end{bmatrix} = \begin{bmatrix} \sin\theta \cos\phi & \cos\theta \cos\phi & -\sin\phi \\ \sin\theta \sin\phi & \cos\theta \sin\phi & \cos\phi \\ \cos\theta & -\sin\theta & 0 \end{bmatrix} \begin{bmatrix} A_r \\ A_\theta \\ A_\phi \end{bmatrix} \quad (ก.56)$$

### สมการของเบสเซลและฟังก์ชันเบสเซล

สมการของเบสเซลอันดับ  $\nu$  มีรูปแบบดังสมการ (ก.57)

$$x^2 \frac{d^2 y}{dx^2} + x \frac{dy}{dx} + (x^2 - \nu^2)y = 0 \quad (ก.57)$$

ซึ่งเมื่อหาผลเฉลยของสมการ (ก.57) จะได้

$$y(x) = A_1 J_\nu(x) + B_1 J_{-\nu}(x) \quad (ก.58)$$

หรือ

$$y(x) = A_1 J_\nu(x) + B_1 Y_\nu(x) \quad (ก.59)$$

เมื่อ  $\nu$  ไม่เป็นจำนวนเต็มหรือไม่เท่ากับศูนย์ และถ้า  $\nu = n$  เป็นจำนวนเต็มหรือเท่ากับศูนย์ ผลเฉลยของสมการ (ก.57) จะเป็นดังสมการ (ก.60)

$$y(x) = A_1 J_n(x) + B_1 Y_n(x) \quad (ก.60)$$

โดยที่  $A_1$  และ  $B_1$  เป็นค่าคงตัวไม่เจาะจง และ

$$J_\nu(x) = \sum_{m=0}^{\infty} \frac{(-1)^m (x/2)^{2m+\nu}}{m!(m+\nu)!} \quad (ก.61)$$

$$J_{-\nu}(x) = \sum_{m=0}^{\infty} \frac{(-1)^m (x/2)^{2m-\nu}}{m!(m-\nu)!} \quad (ก.62)$$

$$Y_\nu(x) = \frac{J_\nu(x) \cos(\nu\pi) - J_{-\nu}(x)}{\sin(\nu\pi)} \quad (ก.63)$$

$$m! = \Gamma(m+1) \quad (\text{ก.64})$$

และ  $J_\nu(x)$  เรียกว่า ฟังก์ชันเบสเซลชนิดที่หนึ่งอันดับที่  $\nu$  และ  $Y_\nu(x)$  เรียกว่า ฟังก์ชันเบสเซลชนิดที่สองอันดับที่  $\nu$  และ  $\Gamma(x)$  คือ ฟังก์ชันแกมมา (gamma function) และสำหรับในกรณี  $\nu=n$  เป็นจำนวนเต็ม เมื่อพิจารณาสมการ (ก.62) และ (ก.64) จะพบว่า

$$J_{-n}(x) = (-1)^n J_n(x) \quad (\text{ก.65})$$

และถ้าอาร์กิวเมนต์ (argument) ของฟังก์ชันเบสเซลอันดับจำนวนเต็มมีค่าเป็นจำนวนลบ จากสมการ (ก.61) จะพบว่า

$$J_n(-x) = (-1)^n J_n(x) \quad (\text{ก.66})$$

การประยุกต์ใช้งานฟังก์ชันเบสเซลบางครั้ง อาร์กิวเมนต์ของฟังก์ชันเบสเซลมีค่าเล็กมากหรือใหญ่มาก ซึ่งถ้าเป็นเช่นนั้น ฟังก์ชันเบสเซลสามารถหาค่าโดยประมาณได้จากวิธีเชิงเส้นกำกับ (asymptotic method) เป็นดังนี้

$$J_0(x) \stackrel{x \rightarrow 0}{\cong} 1 \quad (\text{ก.67})$$

$$Y_0(x) \stackrel{x \rightarrow 0}{\cong} \frac{2}{\pi} \ln\left(\frac{\gamma x}{2}\right) \quad (\text{ก.68})$$

โดยที่  $\gamma = 1.781$  และ

$$J_\nu(x) \stackrel{x \rightarrow 0, \nu > 0}{\cong} \frac{1}{\nu!} \left(\frac{x}{2}\right)^\nu \quad (\text{ก.69})$$

$$Y_\nu(x) \stackrel{x \rightarrow 0, \nu > 0}{\cong} -\frac{(\nu-1)!}{\pi} \left(\frac{x}{2}\right)^\nu \quad (\text{ก.70})$$

$$J_\nu(x) \stackrel{x \rightarrow \infty}{\cong} \sqrt{\frac{2}{\pi x}} \cos\left(x - \frac{\pi}{4} - \frac{\nu\pi}{2}\right) \quad (\text{ก.71})$$

$$Y_\nu(x) \stackrel{x \rightarrow \infty}{\cong} \sqrt{\frac{2}{\pi x}} \sin\left(x - \frac{\pi}{4} - \frac{\nu\pi}{2}\right) \quad (\text{ก.72})$$

นอกจากฟังก์ชันเบสเซลที่กล่าวไว้ข้างต้น นักคณิตศาสตร์ได้ตั้งฟังก์ชันชุดใหม่ขึ้นมาจากฟังก์ชันเบสเซลโดยเรียกว่า ฟังก์ชันฮันเกิล (Hankel function) ซึ่งมีสัญลักษณ์เป็น  $H_\nu^{(1)}(x)$  และ  $H_\nu^{(2)}(x)$  และถูกกำหนดดังสมการ (ก.73) และ (ก.74)

$$H_\nu^{(1)}(x) = J_\nu(x) + jY_\nu(x) \quad (\text{ก.73})$$

$$H_v^{(2)}(x) = J_v(x) - jY_v(x) \quad (\text{ก.74})$$

โดย  $H_v^{(1)}(x)$  เรียกว่า ฟังก์ชันฮันเกลชนิดที่หนึ่งอันดับที่  $v$  และ  $H_v^{(2)}(x)$  เรียกว่า ฟังก์ชันฮันเกลชนิดที่สองอันดับที่  $v$  ดังนั้นผลเฉลยของสมการเบสเซลอันดับที่  $v$  เขียนได้ใหม่เป็น

$$y(x) = A_1 H_v^{(1)}(x) + B_2 H_v^{(2)}(x) \quad (\text{ก.75})$$

และถ้าอาร์กิวเมนต์ของฟังก์ชันฮันเกลมีค่าใหญ่มาก ค่าประมาณของฟังก์ชันฮันเกลจากวิธีเชิงเส้นกำกับเป็น

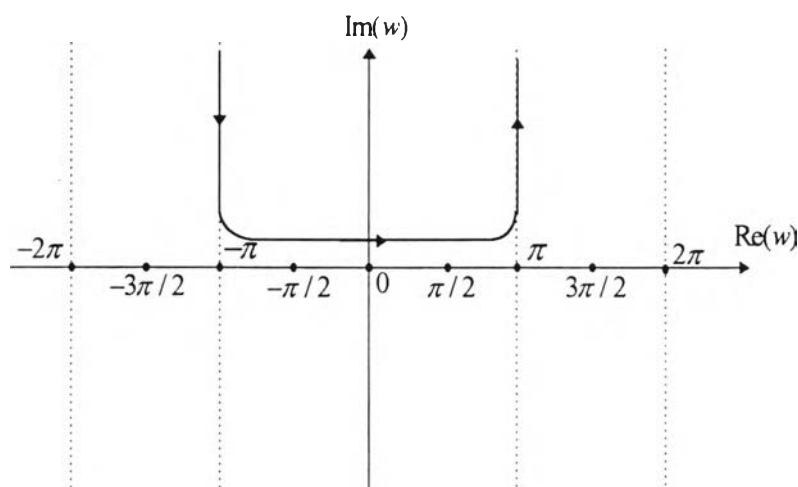
$$H_v^{(1)}(x) \stackrel{x \rightarrow \infty}{\cong} \sqrt{\frac{2}{\pi x}} e^{j\left(x - \frac{\pi}{4} - \frac{v\pi}{2}\right)} \quad (\text{ก.76})$$

$$H_v^{(2)}(x) \stackrel{x \rightarrow \infty}{\cong} \sqrt{\frac{2}{\pi x}} e^{-j\left(x - \frac{\pi}{4} - \frac{v\pi}{2}\right)} \quad (\text{ก.77})$$

เอกลักษณ์ต่าง ๆ ของฟังก์ชันเบสเซล

ฟังก์ชันเบสเซลมีเอกลักษณ์ต่าง ๆ มากมาย สำหรับในภาคผนวกนี้จะกล่าวไว้เพียงบางเอกลักษณ์ที่นำมาใช้ในการวิเคราะห์ในวิทยานิพนธ์นี้คือ

$$J_v(x)Y_v'(x) - Y_v(x)J_v'(x) = \frac{2}{\pi x} \quad (\text{ก.78})$$

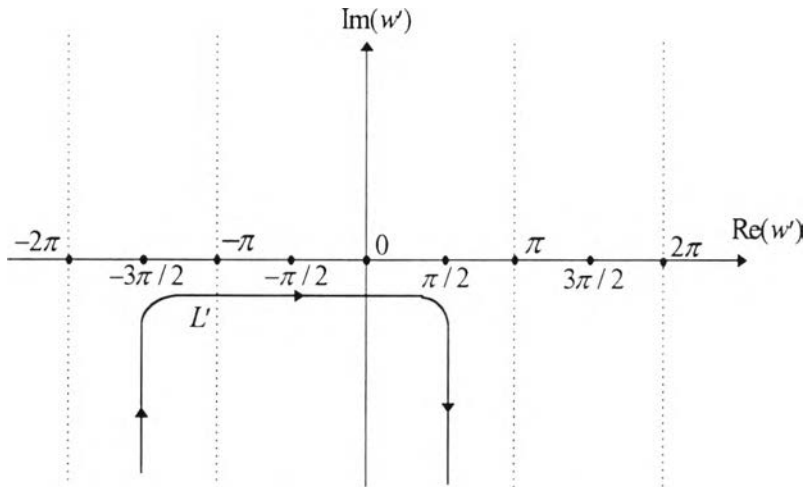


รูป ก.5 เส้นทางกรออินทิเกรตของฟังก์ชันเบสเซลชนิดที่หนึ่งในระนาบเชิงซ้อน  $w$



ต้นฉบับ หน้าขาดหาย

$$J_\nu(x) = \begin{cases} \frac{1}{2\pi} \int_L e^{jx \cos w + j\nu(w - \frac{\pi}{2})} dw \\ \frac{1}{2\pi} \int_L e^{jx \cos w - j\nu(w + \frac{\pi}{2})} dw \end{cases} \quad (ก.82)$$



รูป ก.7 เส้นทาง  $L'$  ของฟังก์ชันเบสเซลชนิดที่หนึ่งในระนาบเชิงซ้อน  $w'$

เนื่องจาก  $\int_0^b f(x) dx = -\int_b^0 f(x) dx$  และ  $\int_a^b Af(x) dx = -\int_a^{-b} Af(-x) dx$  ดังนั้น  $\int_a^b Af(x) dx = \int_{-b}^{-a} Af(-x) dx$  โดยที่  $A$  เป็นค่าคงตัวไม่เจาะจง และจากคุณสมบัติการอินทิเกรตข้างต้น เมื่อพิจารณาสมการ (ก.80) และ (ก.81) พบว่า

$$\int_{\frac{\pi}{2} - j\infty}^{\frac{3\pi}{2} - j\infty} Ae^{jx \cos w} dw = \int_{\frac{\pi}{2} - j\infty}^{-\frac{3\pi}{2} - j\infty} Ae^{jx \cos(-w)} dw = \int_{\frac{\pi}{2} - j\infty}^{-\frac{3\pi}{2} - j\infty} Ae^{jx \cos w} dw$$

ดังนั้น

$$\int_L Ae^{jx \cos w} dw = \int_L Ae^{jx \cos w} dw \quad (ก.83)$$

จากทั้งหมดข้างต้นเป็นการสรุปสูตรทางคณิตศาสตร์ที่จำเป็นในการวิเคราะห์ปัญหาต่าง ๆ ในวิทยานิพนธ์ฉบับนี้ อันประกอบด้วย สูตรต่าง ๆ ในการวิเคราะห์เวกเตอร์ การประมาณฟังก์ชันเบสเซล และเอกลักษณ์ต่าง ๆ ของฟังก์ชันเบสเซล เป็นต้น

ภาคผนวก ข.

รัศมีความโค้งหลักของรังสีสะท้อนและรังสีเลี้ยวเบน

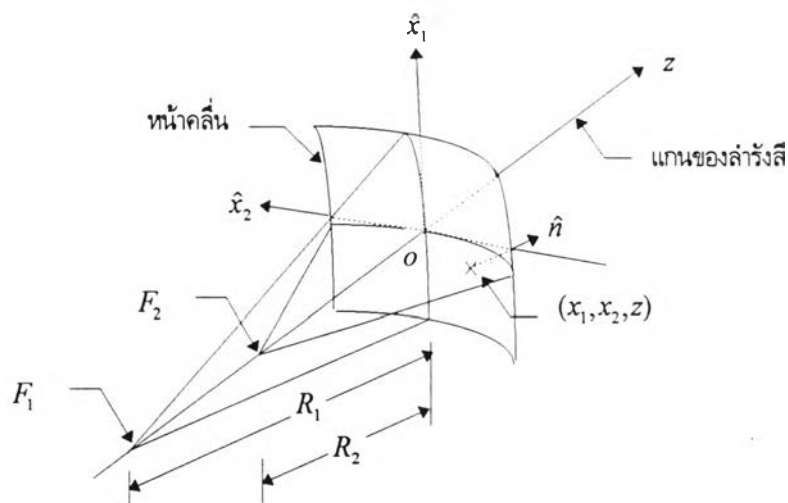
คุณสมบัติของลำรังสีในตัวกลางเอกพันธ์ที่ไม่มีการสูญเสีย

กรรมวิธีทัศนศาสตร์เชิงเรขาคณิตสมมุติ การเคลื่อนที่ของคลื่นในตัวกลางเอกพันธ์ที่ไม่มีการสูญเสียด้วยการส่งผ่านพลังงานในลำรังสีที่มีทิศทางเคลื่อนที่ตามแกนของรังสี  $oz$  ซึ่งตั้งฉากกับหน้าคลื่นดังรูป ข.1 ดังนั้นในการศึกษาพฤติกรรมของคลื่นในลักษณะของรังสีสามารถพิจารณาจากการแปรเปลี่ยนของลำรังสี ซึ่งดูได้จากการแปรเปลี่ยนของหน้าคลื่นเมื่อลำรังสีเคลื่อนที่ไป โดยแทนบริเวณเล็ก ๆ ของหน้าคลื่นรอบจุด  $o$  ด้วยสมการกำลังสองดังสมการ (ข.1)

$$z = -\frac{1}{2} \bar{x} \cdot Q(o) \bar{x} \tag{ข.1}$$

โดยที่  $\bar{x} = x_1 \hat{x}_1 + x_2 \hat{x}_2 = \begin{bmatrix} x_1 \\ x_2 \end{bmatrix}$  คือ เวกเตอร์บอกตำแหน่งตามขวางของลำรังสีซึ่งมีทิศตั้งฉากกับแกนของรังสี และ  $Q$  คือ เมตริกซ์ความโค้งของลำรังสีที่กำหนดด้วยเมตริกซ์สมมาตรขนาด  $2 \times 2$  และเครื่องหมายลบในสมการ (ข.1) เป็นการกำหนดว่าความโค้งของลำรังสีเป็นบวกเมื่อลำรังสีลู่ออกดังรูป ข.1 โดยมีเวกเตอร์ตั้งฉากที่มีทิศพุ่งออกจากศูนย์กลางความโค้งของลำรังสีที่จุด  $(x_1, x_2, z)$  เกิดจากการดำเนินการเกรเดียนต์กับสมการพื้นผิว  $z + \frac{1}{2} \bar{x} \cdot Q(o) \bar{x} = 0$  เป็นดังสมการ (ข.2)

$$\vec{n} = \hat{z} + Q(o) \bar{x} \tag{ข.2}$$



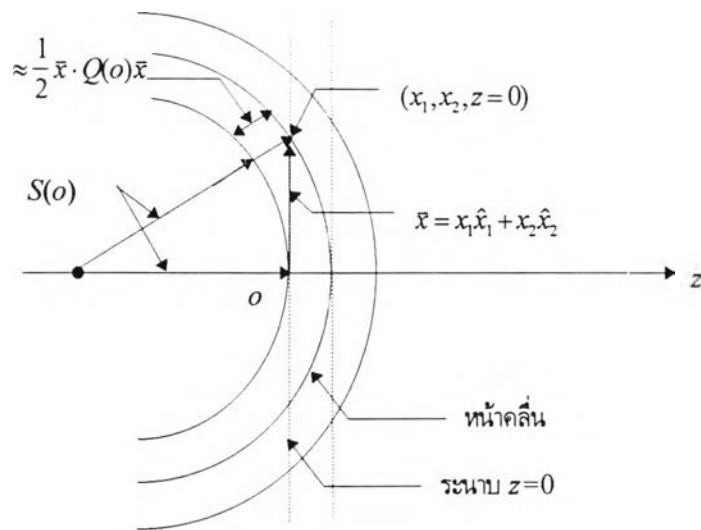
รูป ข.1 ลำรังสีที่ใช้แทนการเคลื่อนที่ไปของคลื่นในตัวกลางเอกพันธ์ที่ไม่มีการสูญเสีย

โดยที่  $\hat{z}$  คือ เวกเตอร์หนึ่งหน่วยในทิศทางตามแกนของลำรังสี  $oz$  และถ้า  $\hat{x}_1$  และ  $\hat{x}_2$  เป็นเวกเตอร์หนึ่งหน่วยที่ไขว้กัน  
 ตำแหน่งตามขวางของลำรังสีในทิศทางหลัก (principal direction) ที่ทำให้รังสีในระนาบหลัก (principal planes) ซึ่งเป็น  
 ระนาบที่ประกอบด้วย  $\hat{x}_1$  กับ  $\hat{z}$  และ  $\hat{x}_2$  กับ  $\hat{z}$  ลู่เข้าตัดแกนของลำรังสีที่จุด  $F_1$  และ  $F_2$  ตามลำดับ ระยะที่รังสีตัดแกน  
 ของลำรังสีในแต่ละระนาบหลัก  $R_1, R_2$  เรียกว่า รัศมีความโค้งหลัก (principal radii of curvature) ซึ่งเป็นรัศมีความโค้ง  
 มากที่สุดและน้อยที่สุดของลำรังสี ดังนั้นเมตริกซ์ความโค้งของลำรังสีในทิศทางหลักที่จุด  $o$  จะเป็นดังสมการ (ข.3)

$$Q(o) = \begin{bmatrix} \frac{1}{R_1} & 0 \\ 0 & \frac{1}{R_2} \end{bmatrix} \tag{ข.3}$$

และเมื่อพิจารณาจุด  $z$  ใด ๆ ที่อ้างอิงกับแกนของรังสี เมตริกซ์ความโค้งของลำรังสีในทิศทางหลักที่จุดนั้นจะเป็น

$$Q(z) = \begin{bmatrix} \frac{1}{R_1 + z} & 0 \\ 0 & \frac{1}{R_2 + z} \end{bmatrix} \tag{ข.4}$$



รูป ข.2 การประมาณเฟสบนหน้าคลื่นที่จุด  $(x_1, x_2, z=0)$

เนื่องจากรังสีที่พุ่งออกจากหน้าคลื่นในบริเวณเล็ก ๆ รอบจุด  $o$  มีทิศทางเกือบขนานกับแกนของรังสี ดังนั้นเฟสของ  
 คลื่นที่จุด  $(x_1, x_2, z=0)$  สามารถหาได้โดยบวก  $\frac{1}{2}k\hat{x} \cdot Q(o)\hat{x}$  เพิ่มเข้าไปในเฟสที่จุด  $o$  โดยไม่คิดพจน์ที่มีกำลังมากกว่าสอง  
 ซึ่งสามารถพิจารณาได้จากรูป ข.2 และในลักษณะคล้าย ๆ กันเฟสของคลื่นที่จุด  $P = (x_1, x_2, z)$  ใด ๆ เมื่อ  $\hat{x} = x_1\hat{x}_1 + x_2\hat{x}_2$

อยู่ในบริเวณใกล้ ๆ แกนของลำรังสี สามารถหาได้โดยบวก  $kz + \frac{1}{2}kx \cdot Q(z)x$  เพิ่มเข้าไปในเฟสที่จุด  $o$  ดังนั้นเฟสของคลื่นที่จุด  $\vec{r} = (x_1, x_2, z)$  ใด ๆ เป็น  $kS(\vec{r})$  โดยที่

$$S(\vec{r}) = S(o) + z + \frac{1}{2}x \cdot Q(z)x \quad (\text{ข.5})$$

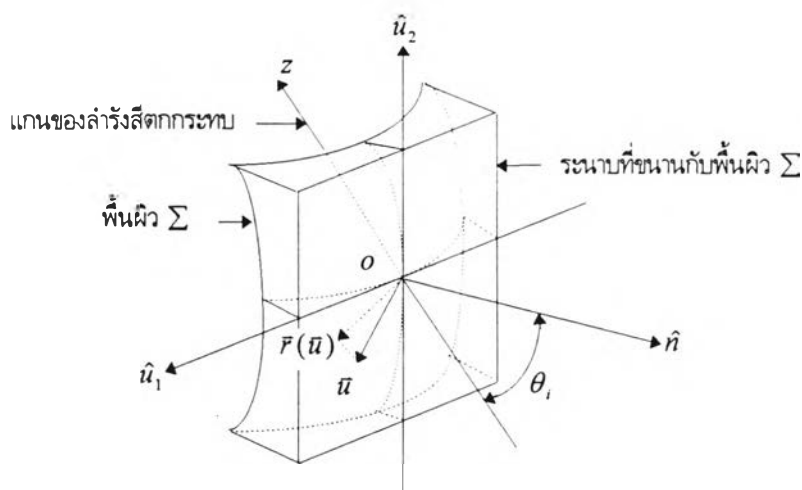
จากที่กล่าวมาข้างต้นแสดงให้เห็นถึงลักษณะสมบัติของลำรังสี เช่น เฟสที่ตำแหน่งใด ๆ จากจุดอ้างอิง  $o$  และค่าปัจจัยต่าง ๆ ที่ใช้ในการบอกตำแหน่งบนหน้าคลื่น โดยการประมาณหน้าคลื่นของลำรังสีรอบ ๆ จุดอ้างอิง  $o$  ด้วยสมการกำลังสอง คุณสมบัติของรังสีเหล่านี้เป็นคุณสมบัติที่สำคัญในการนำไปใช้ศึกษาพฤติกรรมของคลื่น เช่น การสะท้อน และการเลี้ยวเบนเพื่อหาค่าปัจจัยทางเรขาคณิตของลำรังสีสะท้อนและลำรังสีเลี้ยวเบนเมื่อมีลำรังสีมาตกกระทบที่พื้นผิวหรือที่ขอบ ดังกล่าวไว้ในหัวข้อถัดไป

### รัศมีความโค้งหลักของรังสีสะท้อน

ในการหาสนามไฟฟ้าโดยกรรมวิธีทัศนศาสตร์เชิงเรขาคณิตนั้น สนามไฟฟ้าสะท้อนในตัวกลางเอกพันธ์ที่ไม่มีการสูญเสียสามารถหาได้ดังสมการ (ข.6) ซึ่งมีตัวประกอบการลดทอนเป็นฟังก์ชันของรัศมีความโค้งหลักของหน้าคลื่นสะท้อน และเนื่องจากเราพิจารณาคลื่นที่เคลื่อนที่ไปในลักษณะของรังสี ดังนั้นในการหารัศมีความโค้งหลักของคลื่นสะท้อนสามารถใช้ลักษณะสมบัติของลำรังสีที่กล่าวไว้ข้างต้นมาวิเคราะห์ได้ดังนี้

$$\vec{E}^r(s) = [-\vec{E}_i(Q_R) + 2(\vec{E}_i(Q_R) \cdot \hat{n})\hat{n}] \sqrt{\frac{\rho'_1 \rho'_2}{(\rho'_1 + s)(\rho'_2 + s)}} e^{-jks} \quad (\text{ข.6})$$

โดยที่  $\rho'_1, \rho'_2$  คือ รัศมีความโค้งหลักของหน้าคลื่นสะท้อนที่จุดสะท้อน



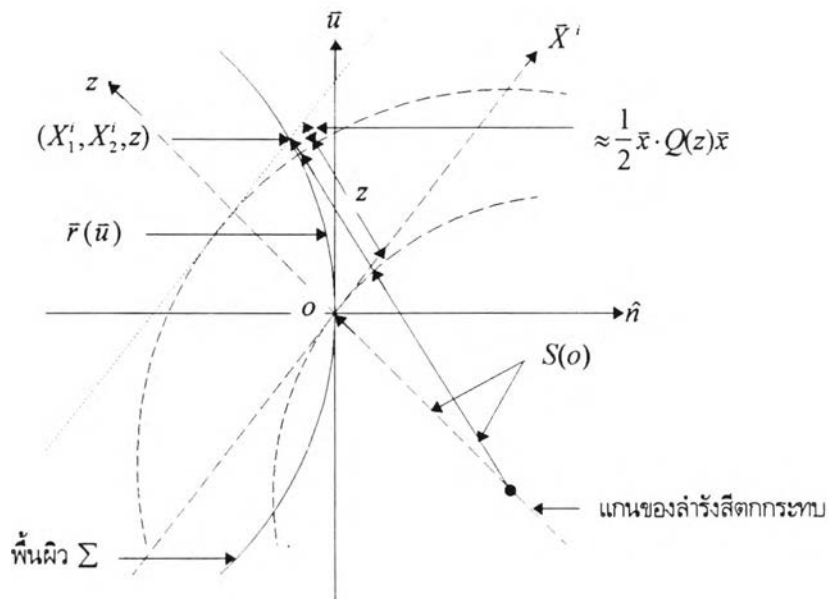
รูป ข.3 ลำรังสีตกกระทบและค่าปัจจัยทางเรขาคณิตของพื้นผิว  $\Sigma$

โดยสมมุติให้  $o$  เป็นจุดที่ล่ำรังสีตกกระทบกับพื้นผิว  $\Sigma$  และมี  $oz$  เป็นแกนของล่ำรังสีตกกระทบดังรูป ข.3 โดยที่  $\hat{n}$  เป็นเวกเตอร์หนึ่งหน่วยตั้งฉากกับพื้นผิวและมีทิศพุ่งออกจากศูนย์กลางความโค้ง (พุ่งเข้าหาล่ำรังสีตกกระทบ) และทำมุมกับแกนของล่ำรังสีตกกระทบเป็นมุม  $\theta$ , และถ้า  $\hat{n}_1, \hat{n}_2$  เป็นเวกเตอร์หนึ่งหน่วยที่ใช้บอกตำแหน่งตามขวางในทิศทางหลักของพื้นผิว  $\Sigma$  จากคุณสมบัติของล่ำรังสี เราสามารถนำประยุกต์ใช้กับพื้นผิว  $\Sigma$  ได้โดยองค์ประกอบตามแนวแกนของพื้นผิว  $\Sigma$  ใกล้เคียง ๆ จุด  $o$  ถูกประมาณด้วยสมการกำลังสองขององค์ประกอบตามขวางของพื้นผิว  $\Sigma$  ที่จุดนั้น ดังนั้นเวกเตอร์บอกตำแหน่งของพื้นผิว  $\Sigma$  อ้างอิงกับจุด  $o$  เป็นดังสมการ (ข.7)

$$\vec{r}(\vec{u}) = \vec{u} - \frac{1}{2}(\vec{u} \cdot C\vec{u})\hat{n} \tag{ข.7}$$

โดยที่  $\vec{u} = u_1\hat{n}_1 + u_2\hat{n}_2 = \begin{bmatrix} u_1 \\ u_2 \end{bmatrix}$  คือ เวกเตอร์บอกตำแหน่งตามขวางของพื้นผิว  $\Sigma$  และ  $C$  คือ เมตริกซ์ความโค้งของพื้นผิว  $\Sigma$  ในทิศทางหลัก และถ้ารัศมีความโค้งหลักของพื้นผิว  $\Sigma$  ที่จุด  $o$  เป็น  $R_1, R_2$  ตามลำดับ ดังนั้นเมตริกซ์ความโค้งของพื้นผิว  $\Sigma$  ในทิศทางหลักที่จุด  $o$  เป็น

$$C = \begin{bmatrix} \frac{1}{R_1} & 0 \\ 0 & \frac{1}{R_2} \end{bmatrix} \tag{ข.8}$$



รูป ข.4 เฟสของล่ำรังสีตกกระทบที่จุดบนพื้นผิว  $\Sigma$

จากคุณสมบัติของรังสีในหัวข้อที่แล้ว เฟสของลำรังสีตกกระทบที่จุดบนพื้นผิว  $\Sigma$  ที่จุด  $\mathcal{P}=(X'_1, X'_2, z)$  คือ  $kS(\mathcal{P})$  (ดังพิจารณาได้จากรูป ข.4) โดยที่

$$S(\mathcal{P}) = S(o) + z + \frac{1}{2} \bar{X}' \cdot Q'(z) \bar{X}' \quad (\text{ข.9})$$

และ  $\bar{X}' = X'_1 \hat{X}'_1 + X'_2 \hat{X}'_2 = \begin{bmatrix} X'_1 \\ X'_2 \end{bmatrix}$  คือ เวกเตอร์บอกตำแหน่งตามขวางของลำรังสีตกกระทบ และ  $Q'(z)$  คือ เมตริกซ์ความโค้งของลำรังสีตกกระทบในทิศทางหลักที่จุด  $z$  อ้างอิงกับแกนของลำรังสีตกกระทบเป็นดังสมการ (ข.10)

$$Q'(z) = \begin{bmatrix} \frac{1}{\rho'_1 + z} & 0 \\ 0 & \frac{1}{\rho'_2 + z} \end{bmatrix} \quad (\text{ข.10})$$

เมื่อพิจารณา  $\bar{r}(\bar{u})$  ในระบบพิกัด  $(\bar{X}', z)$  ของลำรังสีตกกระทบ องค์ประกอบของเวกเตอร์  $\bar{r}(\bar{u})$  บน  $\bar{X}'$  คือ

$$\bar{X}' = \left[ \bar{r}(\bar{u}) \cdot \begin{bmatrix} \hat{X}'_1 \\ \hat{X}'_2 \end{bmatrix} \right] = \left[ \left( \bar{u} - \frac{1}{2} (\bar{u} \cdot C \bar{u}) \hat{n} \right) \cdot \begin{bmatrix} \hat{X}'_1 \\ \hat{X}'_2 \end{bmatrix} \right] = \left[ \bar{u} \cdot \begin{bmatrix} \hat{X}'_1 \\ \hat{X}'_2 \end{bmatrix} \right] - \alpha(|\bar{u}|^2)$$

และถ้าไม่คิดพจน์  $\alpha(|\bar{u}|^2)$  ซึ่งมีกำลังมากกว่าหนึ่งจะได้

$$\begin{aligned} \bar{X}' &= \left[ (u_1 \hat{u}_1 + u_2 \hat{u}_2) \cdot \begin{bmatrix} \hat{X}'_1 \\ \hat{X}'_2 \end{bmatrix} \right] = \begin{bmatrix} u_1 \hat{u}_1 \cdot \hat{X}'_1 + u_2 \hat{u}_2 \cdot \hat{X}'_1 \\ u_1 \hat{u}_1 \cdot \hat{X}'_2 + u_2 \hat{u}_2 \cdot \hat{X}'_2 \end{bmatrix} \\ &= \begin{bmatrix} \hat{X}'_1 \cdot \hat{u}_1 & \hat{X}'_1 \cdot \hat{u}_2 \\ \hat{X}'_2 \cdot \hat{u}_1 & \hat{X}'_2 \cdot \hat{u}_2 \end{bmatrix} \begin{bmatrix} u_1 \\ u_2 \end{bmatrix} = \Theta \bar{u} \end{aligned} \quad (\text{ข.11})$$

ในทำนองเดียวกัน องค์ประกอบของ  $\bar{r}(\bar{u})$  บน  $\hat{z}$  คือ

$$\begin{aligned} z &= \bar{r}(\bar{u}) \cdot \hat{z} = \bar{u} \cdot \hat{z} - \frac{1}{2} (\bar{u} \cdot C \bar{u}) \hat{n} \cdot \hat{z} \\ &= (u_1 \hat{u}_1 \cdot \hat{z} + u_2 \hat{u}_2 \cdot \hat{z}) + \frac{1}{2} \bar{u} \cdot C \bar{u} \cos \theta, \\ &= \begin{bmatrix} \hat{u}_1 \cdot \hat{z} \\ \hat{u}_2 \cdot \hat{z} \end{bmatrix} \begin{bmatrix} u_1 \\ u_2 \end{bmatrix} + \frac{1}{2} \bar{u} \cdot C \bar{u} \cos \theta, \\ &= \bar{v} \cdot \bar{u} + \frac{1}{2} \bar{u} \cdot C \bar{u} \cos \theta, \end{aligned} \quad (\text{ข.12})$$

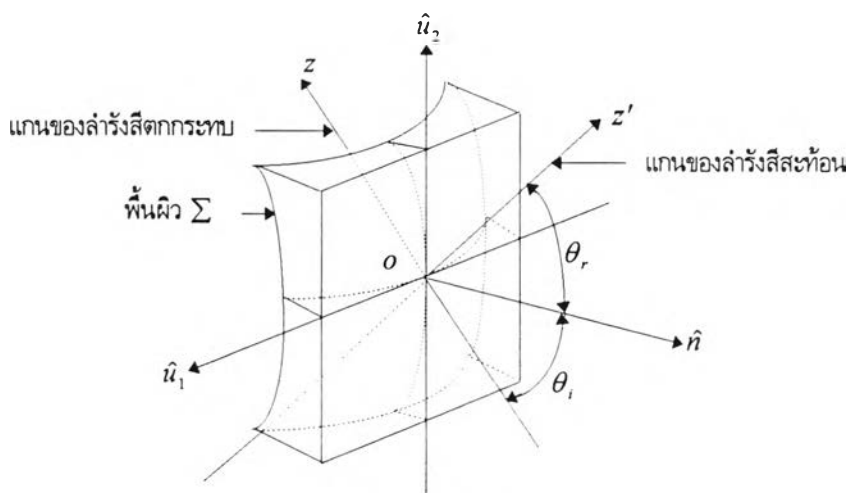
โดยที่  $\Theta'$  คือ เมตริกซ์กายฉายของ  $\vec{n}$  บนระนาบ  $z=0$  ซึ่งเป็นระนาบที่ประกอบด้วย  $X'_1, X'_2$  และ  $\vec{v} = v_1 \hat{u}_1 + v_2 \hat{u}_2$  คือ เวกเตอร์กายฉายของ  $\vec{z}$  บนระนาบที่ขนานกับพื้นผิว  $\Sigma$  ซึ่งเป็นระนาบที่ประกอบด้วย  $u_1, u_2$  โดยที่  $v_i = \vec{z} \cdot \hat{u}_i$  และเมื่อแทนสมการ (ข.11) และ (ข.12) ลงในสมการ (ข.9) จะได้

$$S(\vec{r}) = S(o) + \vec{v} \cdot \vec{u} + \frac{1}{2} \vec{u} \cdot C \vec{u} \cos \theta_1 + \frac{1}{2} (\Theta \vec{u}) \cdot Q(z) (\Theta \vec{u}) \tag{ข.13}$$

เนื่องจาก  $\vec{u} \cdot C \vec{u} = \vec{u}^T C \vec{u}$  และ  $(\Theta \vec{u}) \cdot Q(z) (\Theta \vec{u}) = (\Theta \vec{u})^T Q(z) (\Theta \vec{u})$  ทำให้สมการ (ข.13) เขียนใหม่ได้เป็น

$$\begin{aligned} S(\vec{r}) &= S(o) + \vec{v} \cdot \vec{u} + \frac{1}{2} \vec{u}^T C \vec{u} \cos \theta_1 + \frac{1}{2} (\Theta \vec{u})^T Q(z) (\Theta \vec{u}) \\ &= S(o) + \vec{v} \cdot \vec{u} + \frac{1}{2} \vec{u}^T C \vec{u} \cos \theta_1 + \frac{1}{2} \vec{u}^T \Theta^T Q(z) \Theta \vec{u} \\ &= S(o) + \vec{v} \cdot \vec{u} + \frac{1}{2} \vec{u}^T (C \cos \theta_1 + \Theta^T Q(z) \Theta) \vec{u} \end{aligned} \tag{ข.14}$$

ดังนั้นเฟสที่จุด  $\vec{r} = (X'_1, X'_2, z)$  ของลำรังสีตกกระทบเท่ากับ  $kS(\vec{r}) = kS(o) + k\vec{v} \cdot \vec{u} + \frac{1}{2} k\vec{u}^T (C \cos \theta_1 + \Theta^T Q(z) \Theta) \vec{u}$  ซึ่งประกอบด้วยพจน์กำลังหนึ่งและพจน์กำลังสองขององค์ประกอบตามขวางของพื้นผิว  $\Sigma$  สำหรับพจน์กำลังหนึ่งขององค์ประกอบตามขวางของพื้นผิว  $\Sigma$  มีเฟสเป็น  $k\vec{v} \cdot \vec{u}$  ซึ่งเท่ากับ  $k\vec{\kappa} \cdot \vec{n}$  โดย  $\vec{\kappa}$  คือ กายฉายของ  $k\vec{z}$  บนระนาบที่ขนานกับพื้นผิว  $\Sigma$  ดังนั้นเฟสที่จุด  $\vec{r} = (X'_1, X'_2, z)$  เนื่องจากพจน์กำลังหนึ่งจะขึ้นอยู่กับ  $\vec{\kappa}$  และสำหรับพจน์กำลังสองขององค์ประกอบตามขวางของพื้นผิว  $\Sigma$  มีเฟสเป็น  $\frac{1}{2} k\vec{u}^T (C \cos \theta_1 + \Theta^T Q(z) \Theta) \vec{u}$  ดังนั้นเฟสที่จุด  $\vec{r} = (X'_1, X'_2, z)$  เนื่องจากพจน์กำลังสองจะขึ้นอยู่กับ  $\Gamma = C \cos \theta_1 + \Theta^T Q(z) \Theta$



รูป ข.5 แกนของลำรังสีสะท้อน

ลำรังสีสะท้อนสามารถกำหนดได้เช่นเดียวกับลำรังสีตกกระทบ โดยเลือกให้เวกเตอร์บอกตำแหน่งตามขวางของลำรังสีสะท้อน  $\vec{x}' = x'_1 \hat{x}'_1 + x'_2 \hat{x}'_2$  และแกนของลำรังสีสะท้อนเป็นภาพเสมือนของลำรังสีตกกระทบ ดังนั้นแกนของลำรังสีสะท้อน



$oz'$  เป็นดังรูป ข.5 และเวกเตอร์บอกตำแหน่งตามขวางของลำรังสีสะท้อนมีความสัมพันธ์กับเวกเตอร์บอกตำแหน่งในทิศทางหลัก  $\hat{X}' = X'_1\hat{x}'_1 + X'_2\hat{x}'_2$  เป็นดังสมการ (ข.15)

$$\hat{x}'_{1,2} = \hat{X}'_{1,2} - 2(\hat{X}'_{1,2} \cdot \hat{n})\hat{n} \quad (\text{ข.15})$$

เช่นเดียวกับลำรังสีตกกระทบ เมื่อพิจารณา  $\vec{r}(\vec{u})$  ในระบบพิกัด  $(x', z')$  ของลำรังสีสะท้อน พบว่า

$$\vec{x}' = \vec{r}(\vec{u}) \cdot \begin{bmatrix} \hat{x}'_1 \\ \hat{x}'_2 \end{bmatrix} = \Theta \vec{u} \quad (\text{ข.16})$$

โดยที่  $\Theta = \begin{bmatrix} \hat{x}'_1 \cdot \hat{u}_1 & \hat{x}'_1 \cdot \hat{u}_2 \\ \hat{x}'_2 \cdot \hat{u}_1 & \hat{x}'_2 \cdot \hat{u}_2 \end{bmatrix}$  ซึ่งเมื่อแทน  $\hat{x}'_1, \hat{x}'_2$  ในสมการ (ข.15) ลงไปจะได้  $\Theta = \begin{bmatrix} \hat{X}'_1 \cdot \hat{u}_1 & \hat{X}'_1 \cdot \hat{u}_2 \\ \hat{X}'_2 \cdot \hat{u}_1 & \hat{X}'_2 \cdot \hat{u}_2 \end{bmatrix} = \Theta$  เนื่องจาก  $\vec{u} \cdot \hat{n} = 0$  และ

$$z' = \vec{r}(\vec{u}) \cdot \hat{z}' = \vec{v}' \cdot \vec{u} - \frac{1}{2} \vec{u}^T C \vec{u} \cos \theta, \quad (\text{ข.17})$$

โดยที่  $\Theta'$  คือ เมทริกซ์ภาพฉายของ  $\vec{u}$  บนระนาบ  $z' = 0$  ซึ่งเป็นระนาบที่ประกอบด้วย  $\hat{x}'_1, \hat{x}'_2$  และ  $\vec{v}' = v'_1\hat{u}_1 + v'_2\hat{u}_2$  คือเวกเตอร์ภาพฉายของ  $\hat{z}'$  บนระนาบที่ขนานกับพื้นผิว  $\Sigma$  ซึ่งเป็นระนาบที่ประกอบด้วย  $\hat{u}_1, \hat{u}_2$  โดยที่  $v'_i = \hat{z}' \cdot \hat{u}_i$  และเมื่อแทนสมการ (ข.16) และ (ข.17) ลงในสมการ (ข.9) จะได้

$$\begin{aligned} S'(\vec{r}) &= S(o) + z' + \frac{1}{2} \vec{x}' \cdot Q(z') \vec{x}' \\ &= S(o) + \vec{v}' \cdot \vec{u} + \frac{1}{2} \vec{u}^T (-C \cos \theta_r + \Theta'^T Q(z') \Theta') \vec{u} \end{aligned} \quad (\text{ข.18})$$

ดังนั้นเฟสที่จุด  $\vec{r} = (x', z')$  ของลำรังสีสะท้อนเป็น  $k'S(\vec{r}) = k'S(o) + k\vec{v}' \cdot \vec{u} + \frac{1}{2} k\vec{u}^T (-C \cos \theta_r + \Theta'^T Q(z') \Theta') \vec{u}$  ซึ่งประกอบด้วยพจน์กำลังหนึ่งและพจน์กำลังสองขององค์ประกอบตามขวางของพื้นผิว  $\Sigma$  สำหรับพจน์กำลังหนึ่งขององค์ประกอบตามขวางของพื้นผิว  $\Sigma$  มีเฟสเป็น  $k\vec{v}' \cdot \vec{u}$  จะเท่ากับ  $k\vec{s}' \cdot \vec{u}$  โดย  $\vec{s}'$  คือ ภาพฉายของ  $k\hat{z}'$  บนระนาบที่ขนานกับพื้นผิว  $\Sigma$  ดังนั้นเฟสที่จุด  $\vec{r} = (x', z')$  เนื่องจากพจน์กำลังหนึ่งจะขึ้นอยู่กับ  $\vec{s}'$  และสำหรับพจน์กำลังสองขององค์ประกอบตามขวางของพื้นผิว  $\Sigma$  มีเฟสเป็น  $\frac{1}{2} k\vec{u}^T (-C \cos \theta_r + \Theta'^T Q(z') \Theta') \vec{u}$  ดังนั้นเฟสที่จุด  $\vec{r} = (x', z')$  เนื่องจากพจน์กำลังสองจะขึ้นอยู่กับ  $\Gamma = C \cos \theta_r + \Theta'^T Q(z') \Theta'$

และเนื่องจากเฟสของลำรังสีตกกระทบและลำรังสีสะท้อนที่จุดบนพื้นผิว  $\Sigma$  ต้องเท่ากันตามเงื่อนไขการเท่ากันของเฟส (phase matching condition) ดังนั้น  $kS(\vec{r}) = k'S(\vec{r})$  และถ้าการสะท้อนเกิดขึ้นในบริเวณที่เป็นตัวกลางสารเอกพันธ์แล้ว  $k = k'$  และการเท่ากันของเฟสต้องสอดคล้องทั้งพจน์กำลังหนึ่งและพจน์กำลังสอง ดังนั้นเมื่อเทียบพจน์กำลังหนึ่งจะได้

$$\vec{v}' \cdot \vec{u} = \vec{v}' \cdot \vec{u} \quad (\text{ข.19})$$

เนื่องจาก  $\hat{z} = v_1 \hat{u}_1 + v_2 \hat{u}_2$  และ  $\hat{z}' = v_1' \hat{u}_1 + v_2' \hat{u}_2$  ทำให้สมการ (ข.19) เขียนได้ใหม่เป็น

$$u_1 \hat{z} \cdot \hat{u}_1 + u_2 \hat{z} \cdot \hat{u}_2 = u_1 \hat{z}' \cdot \hat{u}_1 + u_2 \hat{z}' \cdot \hat{u}_2 \quad (\text{ข.20})$$

หรือ

$$u_1 \sin \theta_1 \cos \phi + u_2 \sin \theta_1 \sin \phi = u_1 \sin \theta_r \cos \phi + u_2 \sin \theta_r \sin \phi \quad (\text{ข.21})$$

โดยที่  $\phi$  คือ มุมที่เวกเตอร์ภาพฉายของ  $\hat{z}$  และ  $\hat{z}'$  บนระนาบที่ขนานกับพื้นผิว  $\Sigma$  ทำกับ  $\hat{u}_1$  ดังนั้นสมการ (ข.21) จะเป็นจริงเมื่อ  $\sin \theta_1 = \sin \theta_r$  ซึ่งจะได้  $\theta_1 = \theta_r$  หรือ  $\theta_1 = \pi - \theta_r$  แต่เนื่องจากมุมที่กำหนดในการวิเคราะห์ดังรูป ข.5 กำหนดให้มีค่าไม่เกิน  $\frac{\pi}{2}$  ดังนั้น  $\theta_1 = \theta_r$  ซึ่งสอดคล้องกับกฎของสเนลล์ และเมื่อเทียบพจน์กำลังสองจะได้

$$C \cos \theta_1 + \Theta^T Q(z) \Theta = -C \cos \theta_r + \Theta'^T Q(z') \Theta' \quad (\text{ข.22})$$

เนื่องจาก  $\theta_1 = \theta_r$  และ  $\Theta = \Theta' = \Theta$  ดังนั้น

$$\Theta^T Q(z') \Theta = \Theta^T Q(z) \Theta + 2C \cos \theta_1 \quad (\text{ข.23})$$

หรือ

$$Q(z') = Q(z) + 2 \cos \theta_1 (\Theta^T)^{-1} C \Theta^{-1} \quad (\text{ข.24})$$

และเมื่อพิจารณาที่จุดใกล้ ๆ จุดตกกระทบ  $o$  มาก ๆ ( $z' = z \rightarrow 0$ ) เมตริกซ์ความโค้งของลำรังสีสะท้อนที่จุดนั้นจะประมาณเท่ากับที่จุดตกกระทบ  $o$  ดังสมการ (ข.25)

$$Q(0) = Q(0) + 2 \cos \theta_1 (\Theta^T)^{-1} C \Theta^{-1} \quad (\text{ข.25})$$

ซึ่งเมื่อแทนสมการ (ข.10) และ  $\Theta = \begin{bmatrix} \hat{X}_1' \cdot \hat{u}_1 & \hat{X}_1' \cdot \hat{u}_2 \\ \hat{X}_2' \cdot \hat{u}_1 & \hat{X}_2' \cdot \hat{u}_2 \end{bmatrix}$  ลงในสมการ (ข.25) จะได้

$$\begin{aligned} Q(0) &= \begin{bmatrix} 1/\rho_1' & 0 \\ 0 & 1/\rho_2' \end{bmatrix} + 2 \cos \theta_1 \begin{bmatrix} \hat{X}_1' \cdot \hat{u}_1 & \hat{X}_2' \cdot \hat{u}_1 \\ \hat{X}_1' \cdot \hat{u}_2 & \hat{X}_2' \cdot \hat{u}_2 \end{bmatrix}^{-1} \begin{bmatrix} 1/R_1 & 0 \\ 0 & 1/R_2 \end{bmatrix} \begin{bmatrix} \hat{X}_1' \cdot \hat{u}_1 & \hat{X}_1' \cdot \hat{u}_2 \\ \hat{X}_2' \cdot \hat{u}_1 & \hat{X}_2' \cdot \hat{u}_2 \end{bmatrix} \\ &= \begin{bmatrix} 1/\rho_1' & 0 \\ 0 & 1/\rho_2' \end{bmatrix} + \frac{2 \cos \theta_1}{|\Theta|^2} \begin{bmatrix} \hat{X}_2' \cdot \hat{u}_2 & -\hat{X}_2' \cdot \hat{u}_1 \\ -\hat{X}_1' \cdot \hat{u}_2 & \hat{X}_1' \cdot \hat{u}_1 \end{bmatrix} \begin{bmatrix} 1/R_1 & 0 \\ 0 & 1/R_2 \end{bmatrix} \begin{bmatrix} \hat{X}_2' \cdot \hat{u}_2 & -\hat{X}_1' \cdot \hat{u}_2 \\ -\hat{X}_2' \cdot \hat{u}_1 & \hat{X}_1' \cdot \hat{u}_1 \end{bmatrix} \quad (\text{ข.26}) \\ &= \begin{bmatrix} Q_{11} & Q_{12} \\ Q_{21} & Q_{22} \end{bmatrix} \end{aligned}$$

โดยที่

$$Q_{11} = \frac{1}{\rho_1^2} + \frac{2 \cos \theta_1}{|\Theta|^2} \left( \frac{\Theta_{22}^2}{R_1} + \frac{\Theta_{21}^2}{R_2} \right) \quad (\text{ข.27})$$

$$Q_{22} = Q_{21} = -\frac{2 \cos \theta_1}{|\Theta|^2} \left( \frac{\Theta_{22}\Theta_{12}}{R_1} + \frac{\Theta_{21}\Theta_{11}}{R_2} \right) \quad (\text{ข.28})$$

$$Q_{21} = \frac{1}{\rho_2^2} + \frac{2 \cos \theta_1}{|\Theta|^2} \left( \frac{\Theta_{12}^2}{R_1} + \frac{\Theta_{11}^2}{R_2} \right) \quad (\text{ข.29})$$

และ 
$$\Theta_{jk} = \hat{X}_j^T \cdot \hat{u}_k \quad (\text{ข.30})$$

เมตริกซ์ความโค้งของลำรังสีสะท้อนในสมการ (ข.26) เป็นเมตริกซ์สมมาตรแต่ไม่เป็นเมตริกซ์ทแยงมุม เนื่องจากเวกเตอร์บอกตำแหน่งตามขวางของลำรังสีสะท้อนตามสมการ (ข.15) ไม่ใช่เวกเตอร์บอกตำแหน่งตามขวางในทิศทางหลัก สำหรับการหาเมตริกซ์ความโค้งของลำรังสีสะท้อนในทิศทางหลักซึ่งประกอบด้วยความโค้งหลักของลำรังสีสะท้อนในแนวทแยงมุมนั้นสามารถหาได้โดยใช้วิธีการแปลงระบบพิกัดดังนี้

โดยกำหนดให้ระบบพิกัดใหม่ของลำรังสีสะท้อนมี  $\bar{X}^r = X_1^r X_1^r + X_2^r X_2^r$  เป็นเวกเตอร์บอกตำแหน่งตามขวางของลำรังสีสะท้อนในทิศทางหลัก และมีแกนของลำรังสีสะท้อน  $oz'$  เหมือนเดิม ดังนั้นเฟสที่จุด  $P = (X_1^r, X_2^r, z')$  จะเป็น  $k'S^*(P)$  โดยที่

$$S^*(\bar{P}) = S(o) + z' + \frac{1}{2} \bar{X}^r \cdot Q_{da}(z') \bar{X}^r \quad (\text{ข.31})$$

โดยที่  $Q_{da}(z') = \begin{bmatrix} \frac{1}{\rho_1^2 + z'} & 0 \\ 0 & \frac{1}{\rho_2^2 + z'} \end{bmatrix}$  และ  $\rho_1, \rho_2$  คือ รัศมีความโค้งหลักของลำรังสีสะท้อนที่จุดตกกระทบ  $o$  และเนื่อง

จากเฟสที่จุดเดียวกันของลำรังสีสะท้อนไม่ขึ้นอยู่กับระบบพิกัดที่ใช้ ดังนั้น  $k'S^*(P) = k'S^*(P)$  ซึ่งเมื่อแทนสมการ (ข.18) และ (ข.31) ลงไปจะได้

$$\bar{x}^r T Q(z') \bar{x}^r = \bar{X}^{rT} Q_{da}(z') \bar{X}^r \quad (\text{ข.32})$$

จากสมการ (ข.32) ถ้ากำหนดให้  $\bar{x}^r = P \bar{X}^r$  โดยที่  $P$  เป็นเมตริกซ์ออร์โธโกนัล ซึ่งมีคุณสมบัติคือ  $P^T = P^{-1}$  และพิจารณาที่จุดใกล้ ๆ จุดตกกระทบ  $o$  มาก ๆ พบว่า

$$\bar{x}^r T Q(0) \bar{x}^r = (P \bar{X}^r)^T Q(0) (P \bar{X}^r) = \bar{X}^{rT} (P^T Q(0) P) \bar{X}^r \quad (\text{ข.33})$$

ดังนั้นที่จุดใกล้ ๆ จุดตกกระทบ  $o$  มาก ๆ  $\mathcal{Q}_{da}(0) = P^T \mathcal{Q}(0) P = \begin{bmatrix} \frac{1}{\rho'_1} & 0 \\ 0 & \frac{1}{\rho'_2} \end{bmatrix}$  ซึ่งจากแคลคูลัส (อรุณี, 2533) ความโค้ง

หลักของลำรังสีสะท้อน  $\frac{1}{\rho'_1}, \frac{1}{\rho'_2}$  ที่จุดตกกระทบ  $o$  คือ รากของสมการ  $\det\left(\mathcal{Q}(0) - \frac{1}{\rho'_i} I\right) = 0$  ซึ่งเป็นค่าเฉพาะ

(eigenvalue) ของสมการ  $\mathcal{Q}(0)x' = \frac{1}{\rho'_i} x'$  และ  $P = [\Pi_1 \ \Pi_2]$  เป็น เมตริกซ์ออร์โทโกนัลที่ประกอบด้วยเวกเตอร์ค่า

เฉพาะ  $\Pi_1, \Pi_2$  ซึ่งหาได้จากสมการ  $\left(\mathcal{Q}(0) - \frac{1}{\rho'_i} I\right)\Pi_i = 0$  ดังนั้นความโค้งหลักของลำรังสีสะท้อนสามารถหาได้ดังนี้

$$\begin{vmatrix} \mathcal{Q}_{11} - \frac{1}{\rho'} & \mathcal{Q}_{12} \\ \mathcal{Q}_{12} & \mathcal{Q}_{22} - \frac{1}{\rho'} \end{vmatrix} = 0$$

หรือ 
$$\left(\frac{1}{\rho'}\right)^2 - (\mathcal{Q}_{11} + \mathcal{Q}_{22})\left(\frac{1}{\rho'}\right) + (\mathcal{Q}_{11}\mathcal{Q}_{22} - (\mathcal{Q}_{12})^2) = 0$$

ดังนั้น

$$\begin{aligned} \frac{1}{\rho'_{1,2}} &= \frac{1}{2}(\mathcal{Q}_{11} + \mathcal{Q}_{22}) \pm \frac{1}{2}\sqrt{(\mathcal{Q}_{11} + \mathcal{Q}_{22})^2 - 4(\mathcal{Q}_{11}\mathcal{Q}_{22} - (\mathcal{Q}_{12})^2)} \\ &= \frac{1}{2}(\mathcal{Q}_{11} + \mathcal{Q}_{22}) \pm \frac{1}{2}\sqrt{(\mathcal{Q}_{11} - \mathcal{Q}_{22})^2 + 4(\mathcal{Q}_{12})^2} \end{aligned} \quad (\text{ข.34})$$

เมื่อแทนสมการ (ข.27) (ข.28) และ (ข.29) ลงในสมการ (ข.34) จะได้

$$\begin{aligned} \frac{1}{\rho'_{1,2}} &= \frac{1}{2}\left(\frac{1}{\rho'_1} + \frac{1}{\rho'_2}\right) + \frac{\cos\theta_1}{|\Theta|^2} \left(\frac{\Theta_{22}^2 + \Theta_{12}^2}{R_1} + \frac{\Theta_{12}^2 + \Theta_{11}^2}{R_2}\right) \pm \\ &\frac{1}{2} \left\{ \left[ \left(\frac{1}{\rho'_1} - \frac{1}{\rho'_2}\right)^2 + \frac{4\cos\theta_1}{|\Theta|^2} \left(\frac{1}{\rho'_1} - \frac{1}{\rho'_2}\right) \left(\frac{\Theta_{22}^2 - \Theta_{12}^2}{R_1} + \frac{\Theta_{12}^2 - \Theta_{11}^2}{R_2}\right) \right]^{1/2} \right. \\ &\left. + \frac{4\cos^2\theta_1}{|\Theta|^4} \left[ \left(\frac{\Theta_{22}^2 + \Theta_{12}^2}{R_1} + \frac{\Theta_{12}^2 + \Theta_{11}^2}{R_2}\right)^2 - \frac{4|\Theta|^2}{R_1 R_2} \right] \right\} \end{aligned} \quad (\text{ข.35})$$

และเมตริกซ์  $P = [\Pi_1 \ \Pi_2]$  สามารถหาได้ดังนี้ โดยสำหรับ  $\Pi_1$  หาได้จาก  $\left(\mathcal{Q}(0) - \frac{1}{\rho'_1} I\right)\Pi_1 = 0$  ดังนั้น

$$\begin{bmatrix} \mathcal{Q}_{11} - 1/\rho_1' & \mathcal{Q}_{12} \\ \mathcal{Q}_{12} & \mathcal{Q}_{22} - 1/\rho_1' \end{bmatrix} \begin{bmatrix} p_{11} \\ p_{21} \end{bmatrix} = 0$$

ซึ่งจะได้

$$(\mathcal{Q}_{11} - 1/\rho_1')p_{11} + \mathcal{Q}_{12}p_{21} = 0$$

$$\mathcal{Q}_{12}p_{11} + (\mathcal{Q}_{22} - 1/\rho_1')p_{21} = 0$$

และถ้าให้  $p_{11} = t$  จะได้  $p_{21} = -\frac{(\mathcal{Q}_{11} - 1/\rho_1')t}{\mathcal{Q}_{12}}$  ดังนั้น  $\Pi_1 = \begin{bmatrix} t \\ -\frac{(\mathcal{Q}_{11} - 1/\rho_1')t}{\mathcal{Q}_{12}} \end{bmatrix}$  เพื่อให้  $\Pi_1$  เป็นเวกเตอร์หนึ่งหน่วย เรา

จะเลือก  $t$  ซึ่ง  $|\Pi_1| = 1$  นั่นคือ  $t = \frac{\mathcal{Q}_{12}}{\sqrt{(\mathcal{Q}_{12})^2 + (\mathcal{Q}_{11} - 1/\rho_1')^2}}$  ดังนั้น

$$\Pi_1 = \begin{bmatrix} \frac{\mathcal{Q}_{12}}{\sqrt{(\mathcal{Q}_{12})^2 + (\mathcal{Q}_{11} - 1/\rho_1')^2}} \\ \frac{(\mathcal{Q}_{11} - 1/\rho_1')}{\sqrt{(\mathcal{Q}_{12})^2 + (\mathcal{Q}_{11} - 1/\rho_1')^2}} \end{bmatrix} \quad (\text{ข.36})$$

ในทำนองเดียวกันจะได้

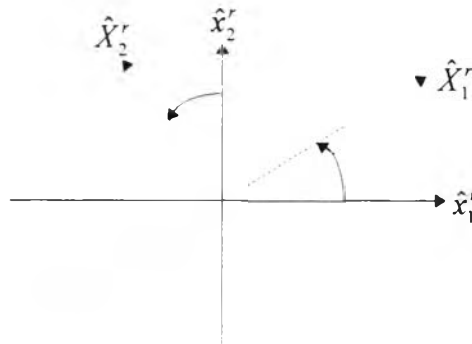
$$\Pi_2 = \begin{bmatrix} \frac{\mathcal{Q}_{12}}{\sqrt{(\mathcal{Q}_{12})^2 + (\mathcal{Q}_{11} - 1/\rho_2')^2}} \\ \frac{(\mathcal{Q}_{11} - 1/\rho_2')}{\sqrt{(\mathcal{Q}_{12})^2 + (\mathcal{Q}_{11} - 1/\rho_2')^2}} \end{bmatrix} \quad (\text{ข.37})$$

ดังนั้นเมตริกซ์  $P = [\Pi_1 \quad \Pi_2]$  เป็นดังสมการ (ข.38)

$$P = \begin{bmatrix} \frac{\mathcal{Q}_{12}}{\sqrt{(\mathcal{Q}_{12})^2 + (\mathcal{Q}_{11} - 1/\rho_1')^2}} & \frac{\mathcal{Q}_{12}}{\sqrt{(\mathcal{Q}_{12})^2 + (\mathcal{Q}_{11} - 1/\rho_2')^2}} \\ \frac{(\mathcal{Q}_{11} - 1/\rho_1')}{\sqrt{(\mathcal{Q}_{12})^2 + (\mathcal{Q}_{11} - 1/\rho_1')^2}} & \frac{(\mathcal{Q}_{11} - 1/\rho_2')}{\sqrt{(\mathcal{Q}_{12})^2 + (\mathcal{Q}_{11} - 1/\rho_2')^2}} \end{bmatrix} \quad (\text{ข.38})$$

จากการแปลงระบบพิกัด เวกเตอร์หนึ่งหน่วยที่บอกตำแหน่งตามขวางของลำรังสีสะท้อนระบบพิกัดใหม่  $X_1', X_2'$  จะเกิดจากการหมุนไปของเวกเตอร์หนึ่งหน่วยที่บอกตำแหน่งตามขวางของลำรังสีสะท้อนระบบพิกัดเดิม  $X_1, X_2$  ดังรูป ข.6 ซึ่งจะพบว่า

$$\begin{aligned}\hat{X}_1' &= (\hat{X}_1' \cdot \hat{x}_1')\hat{x}_1' + (\hat{X}_1' \cdot \hat{x}_2')\hat{x}_2' \\ \hat{X}_2' &= (\hat{X}_2' \cdot \hat{x}_1')\hat{x}_1' + (\hat{X}_2' \cdot \hat{x}_2')\hat{x}_2'\end{aligned}\quad (\text{ข.39})$$



รูป ข.6 ความสัมพันธ์ของเวกเตอร์หนึ่งหน่วยที่บอกตำแหน่งตามขวางในระบบพิกัดเดิมกับในระบบพิกัดใหม่

และเนื่องจากเวกเตอร์บอกตำแหน่งตามขวางของลำรังสีสะท้อนกำหนดได้โดย

$$\bar{X} = x_1' \hat{x}_1' + x_2' \hat{x}_2' = X_1' \hat{X}_1' + X_2' \hat{X}_2' \quad (\text{ข.40})$$

ดังนั้น

$$\begin{aligned}x_1' &= \bar{X} \cdot \hat{x}_1' = X_1' (\hat{X}_1' \cdot \hat{x}_1') + X_2' (\hat{X}_2' \cdot \hat{x}_1') \\ x_2' &= \bar{X} \cdot \hat{x}_2' = X_1' (\hat{X}_1' \cdot \hat{x}_2') + X_2' (\hat{X}_2' \cdot \hat{x}_2')\end{aligned}$$

หรือเขียนอยู่ในรูปเมตริกซ์ได้เป็น

$$\begin{bmatrix} x_1' \\ x_2' \end{bmatrix} = \begin{bmatrix} \hat{X}_1' \cdot \hat{x}_1' & \hat{X}_2' \cdot \hat{x}_1' \\ \hat{X}_1' \cdot \hat{x}_2' & \hat{X}_2' \cdot \hat{x}_2' \end{bmatrix} \begin{bmatrix} X_1' \\ X_2' \end{bmatrix} \quad (\text{ข.41})$$

และเนื่องจาก  $x' = PX'$  ดังนั้น

$$\begin{bmatrix} x_1' \\ x_2' \end{bmatrix} = \begin{bmatrix} \Pi_1 & \Pi_2 \end{bmatrix} \begin{bmatrix} X_1' \\ X_2' \end{bmatrix} \quad (\text{ข.42})$$

เมื่อเทียบสมการ (ข.41) กับ (ข.42) จะพบว่า  $\Pi_1 = \begin{bmatrix} \hat{X}_1' \cdot \hat{x}_1' \\ \hat{X}_1' \cdot \hat{x}_2' \end{bmatrix}$  และ  $\Pi_2 = \begin{bmatrix} \hat{X}_2' \cdot \hat{x}_1' \\ \hat{X}_2' \cdot \hat{x}_2' \end{bmatrix}$  ดังนั้นเมื่อแทนลงในสมการ (ข.39) จะได้

$$\begin{aligned}\hat{X}'_1 &= \frac{\alpha_{12}x'_1 - (\alpha_{11} - 1/\rho'_1)x'_2}{\sqrt{(\alpha_{12})^2 + (\alpha_{11} - 1/\rho'_1)^2}} \\ \hat{X}'_2 &= \frac{\alpha_{12}x'_1 - (\alpha_{11} - 1/\rho'_2)x'_2}{\sqrt{(\alpha_{12})^2 + (\alpha_{11} - 1/\rho'_2)^2}}\end{aligned}\quad (\text{ข.43})$$

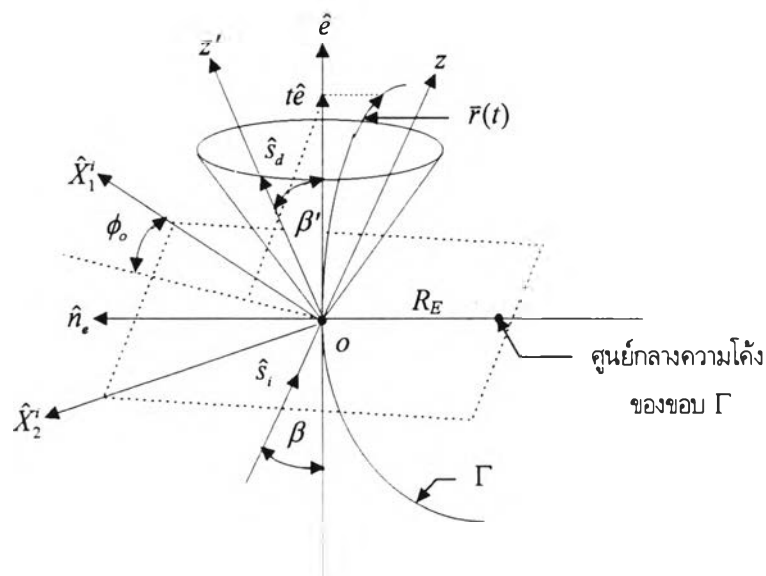
จากที่กล่าวมาข้างต้น เราพบว่า  $\Pi_1, \Pi_2$  เป็นเวกเตอร์ที่ใช้กำหนดทิศทางของเวกเตอร์หนึ่งหน่วยที่ใช้บอกตำแหน่งตามขวางของลำรังสีสะท้อนในทิศทางหลัก และความโค้งหลักของลำรังสีสะท้อนสามารถหาได้จากการหาค่าเจาะจงของสมการ  $\mathcal{Q}(0)x' = \frac{1}{\rho'_i}x'$  ซึ่งจะได้ความโค้งหลักของลำรังสีสะท้อนเป็นดังสมการ (ข.35)

### รัศมีความโค้งหลักของรังสีเลี้ยวเบน

จากทฤษฎีการเลี้ยวเบนเชิงเรขาคณิต สนามไฟฟ้าเลี้ยวเบนในตัวกลางเอกพันธ์ที่ไม่มีการสูญเสียสามารถหาได้ดังสมการ (ข.44) ซึ่งประกอบด้วยตัวประกอบการลดทอนเป็นฟังก์ชันของรัศมีความโค้งหลักของลำรังสีเลี้ยวเบนหรือระยะระหว่างจุดตัดกันของลำรังสีเลี้ยวเบนลำดับที่หนึ่งกับลำดับที่สอง ระยะตัดกันของลำรังสีเลี้ยวเบนสามารถหาได้โดยใช้คุณสมบัติของลำรังสีเช่นเดียวกับการหารัศมีความโค้งหลักของลำรังสีสะท้อนดังนี้

$$\bar{E}^d(s) = \bar{E}^i(Q_D) \cdot \tilde{D} \sqrt{\frac{\rho_2^d}{s(\rho_2^d + s)}} e^{-jks} \quad (\text{ข.44})$$

โดยที่  $\rho_2^d$  คือ ระยะระหว่างจุดตัดกันของลำรังสีเลี้ยวเบนลำดับที่หนึ่งกับจุดตัดกันของลำรังสีเลี้ยวเบนลำดับสอง



รูป ข.7 ลำรังสีตกกระทบ ลำรังสีเลี้ยวเบน และค่าปัจจัยทางเรขาคณิตของขอบ  $\Gamma$

สมมุติให้  $o$  เป็นจุดที่ลำรังสีตกกระทบกับขอบ  $\Gamma$  และมี  $oz$  เป็นแกนของลำรังสีตกกระทบดังรูป ข.7 โดยมี  $\hat{e}$  เป็นเวกเตอร์หนึ่งหน่วยที่สัมผัสกับขอบ  $\Gamma$  ที่จุด  $o$  ทำมุมกับแกนของลำรังสีตกกระทบเป็นมุม  $\beta$  และ  $\hat{n}_e$  เป็นเวกเตอร์หนึ่งหน่วยที่พุ่งออกจากศูนย์กลางความโค้งตั้งฉากกับขอบ  $\Gamma$  ที่จุด  $o$  และจากคุณสมบัติของลำรังสี จุดบนขอบ  $\Gamma$  ใกล้เคียงกับจุด  $o$  สามารถกำหนดได้ด้วยเวกเตอร์บอกตำแหน่งที่อ้างอิงกับจุด  $o$  เป็น

$$\bar{r}(t) = t\hat{e} - \frac{1}{2}(t\hat{e} \cdot Q^T t\hat{e})\hat{n}_e \quad (\text{ข.45})$$

จากสมการ (ข.45)  $Q^T$  คือ ความโค้งของขอบ  $\Gamma$  ที่จุด  $o$  และถ้า  $R_E$  คือ รัศมีความโค้งของขอบ  $\Gamma$  ที่จุด  $o$  ความโค้งของขอบ  $\Gamma$  ที่จุด  $o$   $Q^T = \frac{1}{R_E}$  ดังนั้นสมการ (ข.45) เขียนใหม่ได้เป็น

$$\bar{r}(t) = t\hat{e} - \frac{t^2}{2R_E}\hat{n}_e \quad (\text{ข.46})$$

จากคุณสมบัติของลำรังสี เฟสของลำรังสีตกกระทบที่จุดบนขอบ  $\Gamma$  ที่จุด  $\bar{r}(t) = (X'_1, X'_2, z)$  คือ  $kS(\bar{r})$  โดยที่

$$S(\bar{r}) = S(o) + z + \frac{1}{2}\bar{X}' \cdot Q(z)\bar{X}' \quad (\text{ข.47})$$

และ  $\bar{X}' = X'_1\hat{X}'_1 + X'_2\hat{X}'_2 = \begin{bmatrix} X'_1 \\ X'_2 \end{bmatrix}$  คือ เวกเตอร์บอกตำแหน่งตามขวางของลำรังสีตกกระทบ และ  $Q(z)$  คือ เมตริกซ์ความโค้งของลำรังสีตกกระทบในทิศทางหลักที่จุด  $z$  อ้างอิงกับแกนของลำรังสีตกกระทบเป็นดังสมการ (ข.48)

$$Q'(z) = \begin{bmatrix} \frac{1}{\rho'_1 + z} & 0 \\ 0 & \frac{1}{\rho'_2 + z} \end{bmatrix} \quad (\text{ข.48})$$

และเมื่อพิจารณา  $\bar{r}(t)$  ในระบบพิกัด  $(\bar{X}', \hat{r})$  ของลำรังสีตกกระทบ องค์ประกอบของเวกเตอร์  $\bar{r}(t)$  บน  $\bar{X}'$  คือ

$$\bar{X}' = \begin{bmatrix} \bar{r}(t) \cdot \hat{X}'_1 \\ \bar{r}(t) \cdot \hat{X}'_2 \end{bmatrix} = \begin{bmatrix} t\hat{e} - \frac{t^2}{2R_E}\hat{n}_e \\ \end{bmatrix} \cdot \begin{bmatrix} \hat{X}'_1 \\ \hat{X}'_2 \end{bmatrix} = \begin{bmatrix} t(\hat{e} \cdot \hat{X}'_1) \\ t(\hat{e} \cdot \hat{X}'_2) \end{bmatrix} - \alpha(t^2)$$

ถ้าไม่คิดพจน์  $\alpha(t^2)$  ซึ่งมีกำลังมากกว่าหนึ่งจะได้

$$\bar{X}' = t\bar{v} \quad (\text{ข.49})$$



โดยที่  $\vec{w} = (e \cdot \hat{X}'_1)\hat{X}'_1 + (e \cdot \hat{X}'_2)\hat{X}'_2$  เป็นเวกเตอร์ภาพฉายของ  $\hat{e}$  บนระนาบ  $z=0$  ซึ่งเป็นระนาบที่ประกอบด้วย  $\hat{X}'_1, \hat{X}'_2$  และในทำนองเดียวกัน องค์ประกอบของ  $\vec{r}(t)$  บนแกนของลำรังสีตกกระทบคือ

$$\begin{aligned} z = \vec{r}(t) \cdot \hat{s}_i &= t(\hat{e} \cdot \hat{s}_i) - \frac{t^2}{2R_E} \hat{n}_e \cdot \hat{s}_i \\ &= t \cos \beta - \frac{t^2}{2R_E} \hat{n}_e \cdot \hat{s}_i \end{aligned} \quad (\text{ข.50})$$

โดยที่  $\hat{s}_i$  คือ เวกเตอร์หนึ่งหน่วยในทิศทางตามแนวแกนของลำรังสีตกกระทบ และเมื่อแทนสมการ (ข.49) และ (ข.50) ลงในสมการ (ข.47) จะได้

$$S(\vec{r}) = S(o) + t \cos \beta - \frac{1}{2} q t^2 \quad (\text{ข.51})$$

โดยที่  $q = \frac{\hat{n}_e \cdot \hat{s}_i}{R_E} = \vec{w} \cdot Q(z)\vec{w}$  และจากรูป ข.7 เวกเตอร์ภาพฉาย  $\vec{w}$  สามารถเขียนได้เป็น

$$\vec{w} = \sin \beta \cos \phi_o \hat{X}'_1 + \sin \beta \sin \phi_o \hat{X}'_2 = \begin{bmatrix} \sin \beta \cos \phi_o \\ \sin \beta \sin \phi_o \end{bmatrix} \quad (\text{ข.52})$$

ดังนั้น

$$\vec{w} \cdot Q(z)\vec{w} = \sin^2 \beta \left( \frac{\cos^2 \phi_o}{\rho'_1 + z} + \frac{\sin^2 \phi_o}{\rho'_2 + z} \right) = \frac{\sin^2 \beta}{R} \quad (\text{ข.53})$$

โดยที่  $\frac{1}{R} = \frac{\cos^2 \phi_o}{\rho'_1 + z} + \frac{\sin^2 \phi_o}{\rho'_2 + z}$  และถ้าลำรังสีตกกระทบเป็นคลื่นทรงกลม  $\rho'_1 = \rho'_2 = \rho'$  สมการ (ข.53) เขียนใหม่ได้เป็น

$$\vec{w} \cdot Q(z)\vec{w} = \frac{\sin^2 \beta}{\rho' + z} \quad (\text{ข.54})$$

เมื่อพิจารณาลำรังสีเลี้ยวเบนซึ่งกำหนดให้แกนของลำรังสี  $oz'$  อยู่ในทิศทางของเวกเตอร์หนึ่งหน่วย  $\hat{s}_d$  ที่ทำมุม  $\beta'$  กับ  $\hat{e}$  ซึ่งจุดตัดของลำรังสีลำดับที่หนึ่งอยู่ที่จุด  $o$  บนขอบ  $\Gamma$  และจุดตัดของลำรังสีลำดับที่สองอยู่ที่  $-\rho'_2 \hat{s}_d$  ดังนั้นเฟสของลำรังสีเลี้ยวเบนที่จุด  $\vec{r}(t)$  ในระบบพิกัด  $(X^d, \hat{s}_d)$  ของลำรังสีเลี้ยวเบนคือ  $kS(\vec{r})$  โดยที่

$$S(\vec{r}) = s(o) + z' + \frac{1}{2} \bar{X}^d \cdot Q^d(z) \bar{X}_d = s(o) + t \cos \beta' - \frac{1}{2} q' t^2 \quad (\text{ข.55})$$

$$\text{โดยที่ } q' = \frac{\hat{n}_e \cdot \hat{s}_d}{R_E} - \bar{w}' \cdot Q^d(z') \bar{w}' \text{ และ } Q^d(z') = \begin{bmatrix} \frac{1}{\rho_2^d + z'} & 0 \\ 0 & \frac{1}{\rho_2^d + z'} \end{bmatrix} \text{ ดังนั้น}$$

$$\bar{w}' \cdot Q^d(z') \bar{w}' = \frac{\sin^2 \beta'}{\rho_2^d + z'} \quad (\text{ข.56})$$

จากเงื่อนไขการเท่ากันของเฟส เฟสของลำรังสีตกกระทบกับลำรังสีเลี้ยวเบนเนื่องจากพจน์กำลังหนึ่งขององค์ประกอบในแนวขนานของขอบต้องเท่ากัน ดังนั้น  $k \cos \beta = k \cos \beta'$  ซึ่งจะได้  $\beta = \beta'$  และเฟสของลำรังสีตกกระทบกับลำรังสีเลี้ยวเบนเนื่องจากพจน์กำลังสองขององค์ประกอบในแนวขนานของขอบต้องเท่ากัน ดังนั้น  $kq = kq'$  ซึ่งจะได้

$$\frac{\hat{n}_e \cdot \hat{s}_i}{R_E} - \frac{\sin^2 \beta}{R + z} = \frac{\hat{n}_e \cdot \hat{s}_d}{R_E} - \frac{\sin^2 \beta'}{\rho_2^d + z'} \quad (\text{ข.57})$$

เมื่อพิจารณาที่จุดใกล้ ๆ จุดเลี้ยวเบน  $o$  บนขอบ  $\Gamma$  มาก ๆ ( $z = z' \rightarrow 0$ ) จะพบว่า

$$\frac{\hat{n}_e \cdot \hat{s}_i}{R_E} - \frac{\sin^2 \beta}{R} = \frac{\hat{n}_e \cdot \hat{s}_d}{R_E} - \frac{\sin^2 \beta}{\rho_2^d} \quad (\text{ข.58})$$

หรือ

$$\frac{1}{\rho_2^d} = \frac{1}{R} - \frac{\hat{n}_e \cdot (\hat{s}_i - \hat{s}_d)}{R_E \sin^2 \beta} \quad (\text{ข.59})$$

ซึ่งถ้าลำรังสีตกกระทบเป็นคลื่นทรงกลม

$$\frac{1}{\rho_2^d} = \frac{1}{\rho'} - \frac{\hat{n}_e \cdot (\hat{s}_i - \hat{s}_d)}{R_E \sin^2 \beta} \quad (\text{ข.60})$$

สมการ (ข.59) เป็นสมการที่นำไปใช้หาค่าความโค้งหลักของลำรังสีเลี้ยวเบนที่จุดเลี้ยวเบนที่ขอบหรือระยะระหว่างจุดตัดของลำรังสีเลี้ยวเบนลำดับที่หนึ่ง (จุดเลี้ยวที่ขอบ) กับจุดตัดของลำรังสีเลี้ยวเบนลำดับที่สอง ซึ่งจะขึ้นอยู่กับรัศมีความโค้งของขอบที่จุดเลี้ยวเบน เวกเตอร์หนึ่งหน่วยที่พุ่งออกตั้งฉากกับขอบที่จุดเลี้ยวเบน เวกเตอร์ในทิศทางตามแกนของลำรังสีตกกระทบและลำรังสีสะท้อน และมุมที่แกนของลำรังสีตกกระทบทำกับเวกเตอร์ที่ขนานกับขอบที่จุดนั้น

ภาคผนวก ค.

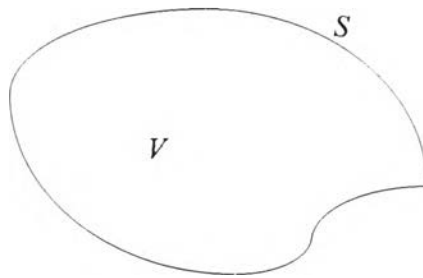
การหากรีนฟังก์ชันของสมการเชิงอนุพันธ์

กรีนฟังก์ชันเป็นฟังก์ชันซึ่งแสดงถึงผลตอบของระบบเชิงกายภาพแบบเชิงเส้นที่ถูกกระตุ้นด้วยแหล่งกำเนิดแบบเดลต้าฟังก์ชัน และมีเงื่อนไขขอบเขตที่จำเป็นซึ่งขึ้นอยู่กับแต่ละระบบที่พิจารณา การหากรีนฟังก์ชันนั้นสามารถทำได้หลายวิธี เช่น การหากรีนฟังก์ชันในรูปอนุกรมของฟังก์ชันเจาะจง (eigenfunctions) การหากรีนฟังก์ชันในรูปของผลเฉลยของสมการเอกพันธ์ (homogeneous equation) หรือการหากรีนฟังก์ชันในรูปอินทิกรัล โดยแต่ละวิธีมีข้อจำกัดแตกต่างกัน ดังนั้นในภาคผนวกนี้จะอธิบายรายละเอียดของวิธีการทั้ง 3 เพื่อนำไปใช้ในการวิเคราะห์ปัญหารูปสี่เหลี่ยมที่ระบบสมการอยู่ในรูปสมการเชิงอนุพันธ์

การหากรีนฟังก์ชันในรูปอนุกรมของฟังก์ชันเจาะจง

การหากรีนฟังก์ชันโดยการกระจายกรีนฟังก์ชันให้อยู่ในรูปอนุกรมของฟังก์ชันเจาะจงนี้เป็นการหากรีนฟังก์ชันสำหรับกรณีที่บริเวณที่พิจารณาคือบริเวณปิด ดังนั้นเมื่อพิจารณาบริเวณปิด  $V$  ที่ถูกล้อมรอบด้วยพื้นผิว  $S$  ดังรูป ค.1 กรีนฟังก์ชันที่เป็นผลเฉลยของสมการคลื่นสอดคล้องกับสมการ (ค.1)

$$(\nabla^2 + k^2)G(\vec{r}, \vec{r}') = -\delta(\vec{r} - \vec{r}') \quad \text{ในบริเวณ } V \quad (\text{ค.1})$$



รูป ค.1 บริเวณปิด  $V$  ที่ถูกล้อมรอบด้วยพื้นผิว  $S$

และมีเงื่อนไขขอบเขตบนพื้นผิว  $S$  สอดคล้องกับเงื่อนไขอย่างใดอย่างหนึ่งขึ้นอยู่กับปัญหาที่พิจารณาคือ  $G=0$  หรือ  $\frac{\partial G}{\partial n} = 0$  หรือ  $G + h \frac{\partial G}{\partial n} = 0$

เนื่องจากฟังก์ชันใด ๆ สามารถเขียนอยู่ในรูปอนุกรมของฟังก์ชันเจาะจง ดังนั้นกรีนฟังก์ชันสามารถเขียนอยู่ในรูปอนุกรมของฟังก์ชันเจาะจงเป็น

$$G(\vec{r}, \vec{r}') = \sum_n A_n \Phi_n(\vec{r}) \quad (\text{ค.2})$$

โดยที่  $A_n$  คือ สัมประสิทธิ์ของการกระจาย และ  $\Phi_n(\vec{r})$  คือ ฟังก์ชันเฉพาะ โดย  $\sum$  แทนการกระจายอนุกรมซึ่งเป็นผลรวมชั้นเดียว (single summation) สำหรับกรณี 1 มิติ และเป็นผลรวม 2 ชั้น (double summation) สำหรับกรณี 2 มิติ และเป็นผลรวม 3 ชั้น (triple summation) สำหรับกรณี 3 มิติ และเช่นเดียวกันเดลต้าฟังก์ชันก็สามารถเขียนอยู่ในรูปอนุกรมของฟังก์ชันเฉพาะได้เป็น

$$\delta(\vec{r} - \vec{r}') = \sum_n B_n \Phi_n(\vec{r}) \quad (\text{ค.3})$$

โดยที่  $B_n$  คือ สัมประสิทธิ์ของการกระจายสามารถหาได้โดยคูณทั้งสองด้านของสมการ (ค.3) ด้วย  $\Phi_m(\vec{r})$  แล้วอินทิเกรตบน  $V$  และจากคุณสมบัติการตั้งฉากกันของฟังก์ชันเฉพาะคือ

$$\int_V \Phi_n(\vec{r}) \Phi_m(\vec{r}) dV = 0 \quad \text{เมื่อ } n \neq m \quad (\text{ค.4})$$

ดังนั้น

$$B_n = \frac{\int_V \delta(\vec{r} - \vec{r}') \Phi_n(\vec{r}) dV}{\int_V [\Phi_n(\vec{r})]^2 dV} = \frac{\Phi_n(\vec{r}')}{\int_V [\Phi_n(\vec{r})]^2 dV} \quad (\text{ค.5})$$

ซึ่งเมื่อแทนลงในสมการ (ค.3) จะได้

$$\delta(\vec{r} - \vec{r}') = \sum_n \frac{\Phi_n(\vec{r}) \Phi_n(\vec{r}')}{\int_V [\Phi_n(\vec{r})]^2 dV} = \sum_n \Phi_n^*(\vec{r}) \Phi_n(\vec{r}') \quad (\text{ค.6})$$

โดยที่  $\Phi_n^*(\vec{r}) = \frac{\Phi_n(\vec{r})}{\sqrt{\int_V [\Phi_n(\vec{r})]^2 dV}}$  คือ ฟังก์ชันเฉพาะปรับบรรทัดฐานแล้ว (normalized eigenfunctions) เมื่อแทนสมการ

(ค.2) และ (ค.3) ลงในสมการ (ค.1) จะได้

$$\sum_n (\nabla^2 + k^2) A_n \Phi_n(\vec{r}) = -\sum_n B_n \Phi_n(\vec{r}) \quad (\text{ค.7})$$

เนื่องจาก  $(\nabla^2 + k_n^2) A_n \Phi_n(\vec{r}) = 0$  โดยที่  $k_n^2$  คือ ค่าเฉพาะ (eigenvalues) ซึ่งเมื่อแทนลงในสมการ (ค.7) จะได้

$$\sum_n (\nabla^2 + k^2) A_n \Phi_n(\vec{r}) = \sum_n (k^2 - k_n^2) A_n \Phi_n(\vec{r}) = -\sum_n B_n \Phi_n(\vec{r})$$

ดังนั้น  $(k^2 - k_n^2) A_n = -B_n$  และสมการ (ค.2) เขียนใหม่เป็น

$$G(\bar{r}, \bar{r}') = \sum_n \frac{\Phi_n^*(\bar{r})\Phi_n(\bar{r}')}{k_n^2 - k^2} \quad (\text{ค.8})$$

และเมื่อพิจารณากรณี 2 มิติ เช่น ในระบบพิกัดทรงกระบอก กรีนฟังก์ชันที่เป็นผลเฉลยของสมการคลื่นสอดคล้องกับสมการ (ค.9)

$$\left[ \frac{1}{\rho} \frac{\partial}{\partial \rho} \left( \rho \frac{\partial}{\partial \rho} \right) + \frac{1}{\rho^2} \frac{\partial^2}{\partial \phi^2} + k^2 \right] G(\rho, \phi; \rho', \phi') = -\frac{\delta(\rho - \rho')\delta(\phi - \phi')}{\rho} \quad (\text{ค.9})$$

ถ้าในทิศทาง  $\phi$  อยู่ในบริเวณเปิดที่มีเงื่อนไขขอบเขตในบริเวณนั้น กรีนฟังก์ชันในกรณีนี้สามารถเขียนอยู่ในรูป

$$G(\rho, \phi; \rho', \phi) = \sum_n \Phi_n^*(\phi)\Phi_n(\phi')G_n(\rho, \rho') \quad (\text{ค.10})$$

ซึ่งเมื่อแทนลงในสมการ (ค.9) และจากสมการ (ค.6)  $\delta(\phi - \phi') = \sum_n \Phi_n^*(\phi)\Phi_n(\phi')$  จะได้

$$-\frac{1}{\Phi_n^*(\phi)} \frac{\partial^2 \Phi_n^*(\phi)}{\partial \phi^2} = v_n^2 = \frac{\rho^2}{G_n(\rho, \rho')} \left[ \frac{1}{\rho} \frac{\partial}{\partial \rho} \left( \rho \frac{\partial}{\partial \rho} \right) + k^2 + \frac{\delta(\rho - \rho')}{\rho} \right] G_n(\rho, \rho')$$

โดยที่  $v_n^2$  คือ ค่าเฉพาะซึ่งหาได้จากเงื่อนไขขอบเขตในทิศทาง  $\phi$  และ

$$\frac{\partial^2 \Phi_n^*(\phi)}{\partial \phi^2} + v_n^2 \Phi_n^*(\phi) = 0$$

ส่วน  $G_n(\rho, \rho')$  สอดคล้องกับ

$$\left[ \frac{1}{\rho} \frac{\partial}{\partial \rho} \left( \rho \frac{\partial}{\partial \rho} \right) + k^2 - \frac{v_n^2}{\rho^2} \right] G_n(\rho, \rho') = -\frac{\delta(\rho - \rho')}{\rho}$$

ซึ่งหาได้โดยการกระจาย  $G_n(\rho, \rho')$  ให้อยู่ในรูปอนุกรมของฟังก์ชันเฉพาะ หรืออยู่ในรูปของผลเฉลยของสมการเอกพันธ์ หรืออยู่ในรูปอินทิกรัลขึ้นอยู่กับเงื่อนไขขอบเขตดังกล่าวในหัวข้อถัดไป

การหากรีนฟังก์ชันในรูปผลเฉลยของสมการเอกพันธ์

การหากรีนฟังก์ชันในหัวข้อที่แล้วเป็นการหากรีนฟังก์ชันในรูปอนุกรมอนันต์ซึ่งสามารถหากรีนฟังก์ชันได้ทั้งในกรณี 1 มิติ 2 มิติ หรือ 3 มิติก็ได้ แต่ใช้ได้กับในกรณีที่ เป็นบริเวณเปิดเท่านั้น สำหรับในกรณีที่ เป็นบริเวณเปิดหรือบริเวณปิด

สามารถหาคกรีนฟังก์ชันได้ในรูปผลเฉลยของสมการเอกพันธ์ แต่วิธีการนี้สามารถใช้ได้กับกรณี 1 มิติเท่านั้น และเพื่อแสดงให้เห็นถึงรายละเอียดของวิธีการนี้ พิจารณาคกรีนฟังก์ชันที่สอดคล้องกับสมการเชิงอนุพันธ์อันดับสองในรูปทั่วไปดังสมการ (ค.11)

$$\left[ \frac{1}{f(z)} \frac{d}{dz} \left( f(z) \frac{d}{dz} \right) + q(z) \right] G(z, z') = -\frac{\delta(z-z')}{f(z)} \quad (\text{ค.11ก})$$

หรือ

$$\left[ \frac{d^2}{dz^2} + \left( \frac{1}{f(z)} \frac{df(z)}{dz} \right) \frac{d}{dz} + q(z) \right] G(z, z') = -\frac{\delta(z-z')}{f(z)} \quad (\text{ค.11ข})$$

สำหรับในกรณี  $z > z'$  และ  $z < z'$  นั้น เดลตาฟังก์ชันซึ่งเป็นฟังก์ชันกระตุ้นของสมการเชิงอนุพันธ์เป็นศูนย์ ดังนั้นสมการเชิงอนุพันธ์ในสมการ (ค.11ข) ลดรูปลงเป็นสมการเอกพันธ์ดังสมการ (ค.12)

$$\left[ \frac{d^2}{dz^2} + \left( \frac{1}{f(z)} \frac{df(z)}{dz} \right) \frac{d}{dz} + q(z) \right] G(z, z') = 0 \quad (\text{ค.12})$$

ซึ่งมีผลเฉลยทั่วไปเป็น

$$G(z, z') = Ay_1(z) \quad \text{เมื่อ } z > z' \quad (\text{ค.13})$$

$$\text{และ} \quad G(z, z') = By_2(z) \quad \text{เมื่อ } z < z' \quad (\text{ค.14})$$

โดยที่  $A$  และ  $B$  หาได้จากเงื่อนไขตามคุณสมบัติของกรีนฟังก์ชันคือ

1. กรีนฟังก์ชันต้องเป็นฟังก์ชันต่อเนื่องของ  $z$  รวมทั้งที่  $z = z'$  โดยที่  $z'$  เป็นค่าที่ถูกกำหนดไว้
2. จากสมการเชิงอนุพันธ์ในสมการ (ค.11ข) อนุพันธ์อันดับสองของกรีนฟังก์ชันเป็นเดลตาฟังก์ชัน ดังนั้นอนุพันธ์อันดับแรกของกรีนฟังก์ชันจะไม่ต่อเนื่องที่  $z = z'$  ความไม่ต่อเนื่องของอนุพันธ์อันดับแรกของกรีนฟังก์ชันสามารถหาได้จากการอินทิเกรตสมการเชิงอนุพันธ์ภายในช่วงเล็ก ๆ ของจุดที่เกิดความไม่ต่อเนื่อง
3. กรีนฟังก์ชันจะเป็นฟังก์ชันสมมาตรเทียบกับ  $z$  และ  $z'$  กล่าวคือ  $G(z, z') = G(z', z)$

จากคุณสมบัติข้อแรก กรีนฟังก์ชันต้องต่อเนื่องที่  $z = z'$  ดังนั้น

$$Ay_1(z') - By_2(z') = 0 \quad (\text{ค.15})$$

และจากคุณสมบัติข้อสอง เมื่ออินทิเกรตสมการเชิงอนุพันธ์จาก  $z' - \varepsilon$  ถึง  $z' + \varepsilon$  โดยที่  $\varepsilon$  มีค่าเข้าใกล้ศูนย์จะได้

$$\lim_{\varepsilon \rightarrow 0} \int_{z-\varepsilon}^{z+\varepsilon} \left[ \frac{d}{dz} \left( f(z) \frac{d}{dz} \right) + f(z)q(z) \right] G(z, z') dz = - \int_{z-\varepsilon}^{z+\varepsilon} \frac{\delta(z, z')}{f(z)} f(z) dz$$

$$\lim_{\varepsilon \rightarrow 0} \int_{z-\varepsilon}^{z+\varepsilon} \left[ \frac{d}{dz} \left( f(z) \frac{d}{dz} \right) + f(z)q(z) \right] G(z, z') dz = -1 \quad (\text{ค.16})$$

เนื่องจาก  $f(z)$ ,  $q(z)$  และ  $G(z, z')$  เป็นฟังก์ชันต่อเนื่องที่  $z = z'$  ดังนั้น  $\lim_{\varepsilon \rightarrow 0} \int_{z-\varepsilon}^{z+\varepsilon} [f(z)q(z)] G(z, z') dz = 0$  ทำให้

$$\lim_{\varepsilon \rightarrow 0} \left[ f(z) \frac{dG(z, z')}{dz} \right]_{z-\varepsilon}^{z+\varepsilon} = -$$

และจากสมการ (ค.13) และ (ค.14)  $G'(z, z') = Ay_1'(z')$  เมื่อ  $z = z' + \varepsilon$  และ  $G'(z, z') = By_2'(z')$  เมื่อ  $z = z' - \varepsilon$  ดังนั้น

$$Ay_1'(z') - By_2'(z') = -\frac{1}{f(z')} \quad (\text{ค.17})$$

โดยที่  $y_1'(z) = dy_1/dz$  และ  $y_2'(z) = dy_2/dz$  และจากสมการ (ค.15) และ (ค.17) ทำให้  $A$  และ  $B$  เป็นดังสมการ (ค.18)

$$A = \frac{y_2(z')}{f(z')\Delta(z')} \quad (\text{ค.18ก})$$

$$B = \frac{y_1(z')}{f(z')\Delta(z')} \quad (\text{ค.18ข})$$

โดยที่  $\Delta(z') = \begin{vmatrix} y_1(z') & y_2(z') \\ y_1'(z') & y_2'(z') \end{vmatrix} = y_1(z')y_2'(z') - y_1'(z)y_2(z')$  เรียกว่า ตัวกำหนดวรองสกี (Wronski determinant)

หรือวรองสกีเยน (Wronskian) ของ  $y_1$  และ  $y_2$  และเมื่อแทน  $A$  และ  $B$  ลงไปในสมการ (ค.13) และ (ค.14) จะได้กรีนฟังก์ชันเป็นดังสมการ (ค.19)

$$G(z, z') = \begin{cases} \frac{y_1(z)y_2(z')}{f(z')\Delta(z')} & , z > z' \\ \frac{y_2(z)y_1(z')}{f(z')\Delta(z')} & , z < z' \end{cases} \quad (\text{ค.19})$$

สังเกตว่าทั้งเศษและส่วนของกรีนฟังก์ชันประกอบด้วยผลคูณของ  $y_1$  กับ  $y_2$  และอนุพันธ์ของ  $y_1$  กับ  $y_2$  ดังนั้นค่าคงที่  $A$  และ  $B$  จะถูกตัดทิ้งมีเพียงฟังก์ชัน  $y_1$  และ  $y_2$  ที่จำเป็น และ  $f(z')$  กับ  $\Delta(z')$  เป็นฟังก์ชันของ  $z'$  ซึ่งเป็นค่าที่กำหนดไว้ ทำให้  $f(z')$  กับ  $\Delta(z')$  เป็นค่าคงที่ ดังนั้นผลเฉลยของสมการเชิงอนุพันธ์ดังสมการ (ค.11ข) เป็น

$$G(z, z') = \begin{cases} \frac{y_1(z)y_2(z')}{D} & , z > z' \\ \frac{y_2(z)y_1(z')}{D} & , z < z' \end{cases} \quad (\text{ค.20})$$

โดยที่  $D = f(z')\Delta(z')$  = ค่าคงที่ มีข้อสังเกตว่าผลเฉลยที่ได้ครอบคลุมทั้งในบริเวณเปิดและบริเวณปิด ซึ่งขึ้นอยู่กับผลเฉลยของสมการเอกพันธ์และอนุพันธ์ของผลเฉลยในแต่ละบริเวณ

### การหากรีนฟังก์ชันในรูปอินทิกรัล

จากข้างต้นได้แสดงการหากรีนฟังก์ชันไว้ 2 รูปแบบ แต่สำหรับในบริเวณเปิดกรีนฟังก์ชันสามารถหาได้โดยอยู่ในรูปอินทิกรัลซึ่งมีความสัมพันธ์กับการแปลงฟูรีเยร์ โดยทำการประยุกต์วิธีการหากรีนฟังก์ชันในรูปอนุกรมของฟังก์ชันจะจงดังนี้ สำหรับในบริเวณเปิด กรีนฟังก์ชันที่สอดคล้องกับสมการคลื่นใน 1 มิติเป็นดังสมการ (ค.21)

$$\left(\frac{\partial^2}{\partial z^2} + k^2\right)G(z, z') = -\delta(z - z') \quad (\text{ค.21})$$

โดยที่เงื่อนไขขอบเขตสอดคล้องกับเงื่อนไขการแผ่พลังงานคือ

$$G(z = \infty; z') = G(z = -\infty; z') = 0 \quad (\text{ค.22})$$

เมื่อให้กรีนฟังก์ชันอยู่ในรูปอนุกรมของฟังก์ชันค่าจะจงดังสมการ (ค.23)

$$G(z, z') = \sum_{n=-\infty}^{\infty} A_n \psi_n(z) \quad (\text{ค.23})$$

จะทำให้

$$\left(\frac{\partial^2}{\partial z^2} + k_n^2\right)\psi_n(z) = 0 \quad (\text{ค.24})$$

โดยที่  $k_n^2$  คือ ค่าจะจงที่ได้จากเงื่อนไขการแผ่พลังงาน

$$\psi_n(z = \infty) = \psi_n(z = -\infty) = 0 \quad (\text{ค.25})$$



จากสมการ (ค.24) และ (ค.25) ผลเฉลยของฟังก์ชันเจาะจงเป็นคลื่นจร (traveling waves) แทนที่จะเป็นคลื่นนิ่ง (standing waves) ดังนั้น

$$\psi_n(z) = \begin{cases} Ae^{-jk_n z} & , z > z' \\ Be^{jk_n z} & , z < z' \end{cases} \quad (\text{ค.26})$$

ซึ่งเมื่อแทนลงในสมการ (ค.23) จะได้

$$G(z, z') = \begin{cases} \sum_{n=-\infty}^{\infty} A_n Ae^{-jk_n z} & , z > z' \\ \sum_{n=-\infty}^{\infty} A_n Be^{jk_n z} & , z < z' \end{cases} \quad (\text{ค.27})$$

จากการหากรีนฟังก์ชันในรูปอนุกรมของฟังก์ชันเจาะจงพบว่า  $A_n$  เป็นฟังก์ชันของ  $z'$  และ  $k_n$  ดังนั้นเมื่อพิจารณากรณี  $z > z'$  ถ้าให้  $A_n A = \frac{g(k_n; z')}{2\pi}$  และจากสมการ (ค.27) จะได้

$$G(z, z') = \frac{1}{2\pi} \sum_{n=-\infty}^{\infty} g(k_n; z') e^{-jk_n z} \quad , z > z' \quad (\text{ค.28})$$

จากสมการ (ค.28) กรีนฟังก์ชันอยู่ในรูปของคลื่นระนาบที่มีขนาดเท่ากับ  $g(k_n; z')$  โดยมีค่าคงที่การแผ่กระจายคลื่นเท่ากับ  $k_n$  และเป็นฟังก์ชันแบบไม่ต่อเนื่อง (discrete functions) ดังนั้นเมื่อพิจารณากรีนฟังก์ชันเป็นสเปกตรัมของคลื่นระนาบ ตัวดำเนินการจะเปลี่ยนจากผลรวมไปเป็นการอินทิเกรตดังสมการ (ค.29)

$$G(z, z') = \frac{1}{2\pi} \int_{-\infty}^{\infty} g(h, z') e^{-jh z} dh \quad (\text{ค.29})$$

สมการ (ค.29) มีรูปแบบเช่นเดียวกับการแปลงฟูรีเยร์ ดังนั้นคู่การแปลงกลับฟูรีเยร์เป็น

$$g(h, z') = \int_{-\infty}^{\infty} G(z, z') e^{+jh z} dz \quad (\text{ค.30})$$

และมีคุณสมบัติของการแปลงฟูรีเยร์ดังนี้

$$\int_{-\infty}^{+\infty} \left( \frac{\partial^2 G}{\partial z^2} \right) e^{jh z} dz = -h^2 g(h, z') \quad (\text{ค.31})$$

$$\int_{-\infty}^{+\infty} \delta(z - z') e^{jh z} dz = e^{jh z'} \quad (\text{ค.32})$$

การหากรีนฟังก์ชันในรูปอินทิกรัลข้างต้นเป็นการพิจารณาสมการคลื่นในกรณี 1 มิติ และถ้าเป็นกรณี 2 มิติ กรีนฟังก์ชันก็สามารถแสดงอยู่ในรูปของการแปลงฟูรีเยร์เช่นเดียวกับในกรณี 1 มิติ โดยคุณสมบัติที่ใช้เป็นไปตามคุณสมบัติการแปลงฟูรีเยร์ 2 มิติ ซึ่งอาจนำไปใช้กับปัญหาการแผ่พลังงานจากบริเวณที่ไม่มีแหล่งกำเนิด (source free) ไปยังบริเวณย่านสนามไกลซึ่งเป็นบริเวณเปิดที่สอดคล้องกับเงื่อนไขการแผ่พลังงาน

จากการหากรีนฟังก์ชันที่กล่าวมาทั้งหมดข้างต้นพบว่า กรีนฟังก์ชันสามารถอยู่ในรูปแบบต่าง ๆ ซึ่งในแต่ละรูปแบบมีข้อจำกัดในการหาดังได้กล่าวไว้ข้างต้น ดังนั้นในการวิเคราะห์ปัญหาโดยใช้กรีนฟังก์ชัน กรีนฟังก์ชันอาจแสดงได้หลายรูปแบบซึ่งในปัญหาจริง ๆ อาจต้องรวมทั้ง 3 วิธีเพื่อหากรีนฟังก์ชันในรูปแบบที่สามารถนำไปใช้งานได้ดีที่สุด

ภาคผนวก ง.

ความสัมพันธ์ของสนามแม่เหล็กไฟฟ้าเมื่อการเปลี่ยนแปลงในทิศทาง  $z$  อยู่ในรูปเอกซ์โพเนนเชียล  $e^{-jk_z z}$   
ในระบบพิกัดทรงกระบอก

การคำนวณหาสนามแม่เหล็กไฟฟ้าสามารถแยกพิจารณาตัวดำเนินการ  $\nabla$  ออกเป็น 2 ส่วนคือ ตัวดำเนินการใน  
ทิศทาง  $z$  ( $\nabla_z$ ) กับตัวดำเนินการในทิศทางที่ตั้งฉากกับทิศทาง  $z$  ( $\nabla_t$ ) เนื่องจากตัวดำเนินการ  $\nabla$  มีคุณสมบัติแบบเชิงเส้น  
ซึ่งในระบบพิกัดทรงกระบอก

$$\nabla_t = \frac{\partial}{\partial \rho} \bar{a}_\rho + \frac{1}{\rho} \frac{\partial}{\partial \phi} \bar{a}_\phi \quad (ง.1)$$

$$\nabla_z = \frac{\partial}{\partial z} \bar{a}_z \quad (ง.2)$$

และ

$$\nabla = \nabla_t + \nabla_z \quad (ง.3)$$

สมมุติว่าสนามไฟฟ้า  $\vec{E} = \vec{E}_t + \vec{E}_z$  และสนามแม่เหล็ก  $\vec{H} = \vec{H}_t + \vec{H}_z$  โดยที่  $\vec{E}_t, \vec{H}_t$  คือ สนามไฟฟ้าและสนาม  
แม่เหล็กที่สอดคล้องกับสมการแมกซ์เวลล์ในบริเวณที่ปราศจากแหล่งกำเนิด ดังนั้น

$$\nabla \times \vec{E} = -j\omega\mu\vec{H} \quad (ง.4)$$

$$\nabla \times \vec{H} = j\omega\varepsilon\vec{E} \quad (ง.5)$$

และ  $\vec{E}_t, \vec{H}_t$  คือ สนามไฟฟ้าและสนามแม่เหล็กในทิศที่ตั้งฉากกับทิศทาง  $z$  และ  $\vec{E}_z, \vec{H}_z$  คือ สนามไฟฟ้าและสนามแม่เหล็ก  
ในทิศทาง  $z$  ซึ่งเมื่อแทนสมการ (ง.3) ลงในสมการ (ง.4) จะได้

$$(\nabla_t + \nabla_z) \times (\vec{E}_t + \vec{E}_z) = -j\omega\mu(\vec{H}_t + \vec{H}_z) \quad (ง.6)$$

หรือ

$$\nabla_t \times \vec{E}_z + \nabla_z \times \vec{E}_t = -j\omega\mu\vec{H}_t \quad (ง.7)$$

เนื่องจาก  $\nabla_z \times \vec{E}_z = 0$  และ  $\nabla_t \times \vec{E}_t = 0$  ทำให้เกิดองค์ประกอบของสนามไฟฟ้าในทิศทาง  $z$  ในทำนองเดียวกันเมื่อแทนสมการ  
(ง.3) ลงในสมการ (ง.5)

$$\nabla_t \times \vec{H}_z + \nabla_z \times \vec{H}_t = j\omega\varepsilon\vec{E}_t \quad (ง.8)$$

เมื่อคูณสมการ (ง.7) ด้วย  $j\omega\epsilon$  และแทน  $\vec{E}_t$  ในสมการ (ง.8) ลงในสมการ (ง.7) จะได้

$$k^2 \vec{H}_t = j\omega\epsilon \nabla_t \times \vec{E}_t + \nabla_z \times (\nabla_t \times \vec{H}_z) + \nabla_z \times (\nabla_z \times \vec{H}_t) \quad (\text{ง.9})$$

และถ้าสมมุติว่า  $E$  และ  $H$  มีการเปลี่ยนแปลงในทิศทาง  $z$  อยู่ในรูปเอกซ์โพเนนเชียล  $e^{-jk_z z}$  พจน์ต่าง ๆ ในสมการ (ง.9) จะเป็นดังนี้

$$\begin{aligned} \nabla_z \times (\nabla_t \times \vec{H}_z) &= \frac{\partial}{\partial z} \vec{a}_z \times \left( \frac{1}{\rho} \frac{\partial H_z}{\partial \phi} \vec{a}_\rho - \frac{\partial H_z}{\partial \rho} \vec{a}_\phi \right) \\ &= \frac{1}{\rho} \frac{\partial}{\partial \phi} \frac{\partial H_z}{\partial z} \vec{a}_\phi + \frac{\partial}{\partial \rho} \frac{\partial H_z}{\partial z} \vec{a}_\rho \\ &= -jk_z \left( \frac{1}{\rho} \frac{\partial H_z}{\partial \phi} \vec{a}_\phi + \frac{\partial H_z}{\partial \rho} \vec{a}_\rho \right) \\ &= -jk_z \nabla_t H_z \end{aligned} \quad (\text{ง.10})$$

และ

$$\begin{aligned} \nabla_z \times (\nabla_z \times \vec{H}_t) &= \frac{\partial}{\partial z} \vec{a}_z \times \left( -\frac{\partial H_\phi}{\partial z} \vec{a}_\rho + \frac{\partial H_\rho}{\partial z} \vec{a}_\phi \right) \\ &= -\frac{\partial^2 H_\phi}{\partial z^2} \vec{a}_\phi - \frac{\partial^2 H_\rho}{\partial z^2} \vec{a}_\rho \\ &= (-jk_z)^2 (-H_\phi \vec{a}_\phi - H_\rho \vec{a}_\rho) \\ &= k_z^2 \vec{H}_t \end{aligned} \quad (\text{ง.11})$$

เมื่อแทนสมการ (ง.10) และ (ง.11) ลงในสมการ (ง.9) จะได้

$$k^2 \vec{H}_t = -jk_z \nabla_t H_z + k_z^2 \vec{H}_t + j\omega\epsilon \nabla_t \times \vec{E}_t \quad (\text{ง.12})$$

หรือ

$$\vec{H}_t = \frac{-jk_z \nabla_t H_z}{k^2 - k_z^2} + \frac{j\omega\epsilon \nabla_t \times \vec{E}_t}{k^2 - k_z^2} \quad (\text{ง.13})$$

เนื่องจาก  $\nabla_t \times \vec{E}_t = -\vec{a}_z \times \nabla_t E_z$  เมื่อแทนลงในสมการ (ง.13)

$$\vec{H}_t = -\frac{jk_z \nabla_t H_z}{k^2 - k_z^2} - \frac{j\omega\epsilon \vec{a}_z \times \nabla_t E_z}{k^2 - k_z^2} \quad (\text{ง.14})$$

ในทำนองเดียวกันเมื่อคูณสมการ (ง.8) ด้วย  $j\omega\mu$  และแทน  $\vec{H}_t$  ในสมการ (ง.7) ลงในสมการ (ง.8) จะได้

$$\vec{E}_t = -\frac{jk_z \nabla_t E_z}{k^2 - k_z^2} + \frac{j\omega \mu \vec{a}_z \times \nabla_t H_z}{k^2 - k_z^2} \quad (\text{ง.15})$$

จากสมการ (ง.14) และ (ง.15) พบว่า สนามไฟฟ้าและสนามแม่เหล็กในบริเวณปราศจากแหล่งกำเนิดที่มีการเปลี่ยนแปลงในทิศทาง  $z$  อยู่ในรูปเอกซ์โพเนนเชียล  $e^{-jk_z z}$  สามารถทำได้ถ้าเราทราบเพียงองค์ประกอบในทิศทาง  $z$  ของสนามไฟฟ้าและสนามแม่เหล็ก

ภาคผนวก จ.

### การประมาณค่าฟังก์ชันทรานซิชัน

ในการวิเคราะห์หาสนามเนื่องจากการเลี้ยวเบนที่ขอบโดยทฤษฎีการเลี้ยวเบนเชิงเรขาคณิตนั้น สนามเนื่องจากการเลี้ยวเบนที่ขอบขึ้นอยู่กับ สนามตกกระทบที่จุดขอบ สัมประสิทธิ์การเลี้ยวเบนที่ขอบแบบไดแอดิก และตัวประกอบการลดทอน โดยในสัมประสิทธิ์การเลี้ยวเบนที่ขอบแบบไดแอดิกประกอบด้วยฟังก์ชันทรานซิชัน (transition function) ซึ่งเป็นฟังก์ชันที่เกิดขึ้นจากการใช้กรรมวิธี steepest descent แบบดัดแปลงของ Pauli-Clemmow (Pauli-Clemmow modified method of steepest descent) กับในกรณีที่ขึ้นอยู่กับจุดอานมาเป็นดังสมการ (จ.1)

$$F[X] = 2j\sqrt{X}e^{jX} \int_{\sqrt{X}}^{\infty} e^{-j\tau^2} d\tau \quad (จ.1)$$

จากสมการ (จ.1) ฟังก์ชันทรานซิชันอยู่ในรูปอินทิกรัลที่มีขอบเขตบนเป็นอนันต์ ทำให้ในการหาค่าแม่นยำตรงเป็นไปไม่ได้ ยกเว้นแต่ถ้ากำหนดให้  $\tau = \sqrt{\frac{\pi}{2}}t$  และใช้สูตรของออยเลอร์ (Euler's formula) พบว่า สำหรับ  $X \geq 0$

$$\begin{aligned} F[X] &= j\sqrt{2\pi X}e^{jX} \int_{\sqrt{2X/\pi}}^{\infty} e^{-j\frac{\pi^2}{2}} dt \\ &= j\sqrt{2\pi X}e^{jX} \left[ \int_{\sqrt{2X/\pi}}^{\infty} \cos\left(\frac{\pi^2}{2}\right) dt - j \int_{\sqrt{2X/\pi}}^{\infty} \sin\left(\frac{\pi^2}{2}\right) dt \right] \end{aligned} \quad (จ.2)$$

เนื่องจาก

$$\int_0^{\infty} \cos\left(\frac{\pi^2}{2}\right) dt = \int_0^{\sqrt{2X/\pi}} \cos\left(\frac{\pi^2}{2}\right) dt + \int_{\sqrt{2X/\pi}}^{\infty} \cos\left(\frac{\pi^2}{2}\right) dt = 0.5 \quad (จ.3)$$

$$\int_0^{\infty} \sin\left(\frac{\pi^2}{2}\right) dt = \int_0^{\sqrt{2X/\pi}} \sin\left(\frac{\pi^2}{2}\right) dt + \int_{\sqrt{2X/\pi}}^{\infty} \sin\left(\frac{\pi^2}{2}\right) dt = 0.5 \quad (จ.4)$$

ดังนั้นเมื่อแทนสมการ (จ.3) และ (จ.4) ลงในสมการ (จ.2) จะได้

$$F[X] = j\sqrt{2\pi X}e^{jX} \left[ (0.5 - j0.5) - \left\{ C(\sqrt{2X/\pi}) - jS(\sqrt{2X/\pi}) \right\} \right] \quad (จ.5)$$

โดยที่  $C(x) = \int_0^x \cos\left(\frac{\pi t^2}{2}\right) dt$  และ  $S(x) = \int_0^x \sin\left(\frac{\pi t^2}{2}\right) dt$  คือ โคไซน์เฟรส์แนลอินทิกรัลและไซน์เฟรส์แนลอินทิกรัลตามลำดับ ซึ่งกำหนดอยู่ในรูปเฟรส์แนลอินทิกรัลดังสมการ (จ.6)

$$f(x) = C(x) - jS(x) = \int_0^x e^{-j\frac{\pi t^2}{2}} dt \quad (\text{จ.6})$$

โดยที่  $x = \sqrt{2X/\pi}$  หรือ  $X = \pi x^2/2$  และสำหรับ  $X < 0$   $F[X]$  เท่ากับค่าสังยุคของ  $F[|X|]$

เฟรส์แนลอินทิกรัล  $f(x)$  ในสมการ (จ.6) สามารถหาค่าได้โดยใช้การประมาณของ Boersma, 1960 (C. J. Slentten, 1989) ดังสมการ (จ.7)

$$\begin{aligned} f(x) &\approx e^{-jX} \sqrt{X/4} \sum_{n=1}^{12} (a_n + jb_n)(X/4)^n, & 0 \leq X < 4 \\ &\approx (1-j)/2 + e^{-jX} \sqrt{4/X} \sum_{n=1}^{12} (c_n + jd_n)(4/X)^n, & X \geq 4 \end{aligned} \quad (\text{จ.7})$$

โดยที่  $a_n, b_n, c_n$  และ  $d_n$  คือ ค่าคงที่ของ Boersma ซึ่งมีค่าดังนี้

$$\begin{aligned} a_1 &= 1.595769140 & a_2 &= -0.000001702 & a_3 &= -6.808568854 & a_4 &= -0.000576361 \\ a_5 &= 6.920691902 & a_6 &= -0.016898657 & a_7 &= -3.050485660 & a_8 &= -0.075752419 \\ a_9 &= 0.850663781 & a_{10} &= -0.025639041 & a_{11} &= -0.150230960 & a_{12} &= 0.034404779 \end{aligned}$$

$$\begin{aligned} b_1 &= -0.000000033 & b_2 &= 4.255387524 & b_3 &= -0.000092810 & b_4 &= -7.780020400 \\ b_5 &= -0.009520895 & b_6 &= 5.075161298 & b_7 &= -0.138341947 & b_8 &= -1.363729124 \\ b_9 &= -0.403349276 & b_{10} &= 0.702222016 & b_{11} &= -0.216195929 & b_{12} &= 0.019547031 \end{aligned}$$

$$\begin{aligned} c_1 &= 0.000000000 & c_2 &= -0.024933975 & c_3 &= 0.000003936 & c_4 &= 0.005770956 \\ c_5 &= 0.000689892 & c_6 &= -0.009497136 & c_7 &= 0.011948809 & c_8 &= -0.006748873 \\ c_9 &= 0.000246420 & c_{10} &= 0.002102967 & c_{11} &= -0.001217930 & c_{12} &= 0.000233939 \end{aligned}$$

$$\begin{aligned} d_1 &= 0.199471140 & d_2 &= 0.000000023 & d_3 &= -0.009351341 & d_4 &= 0.000023006 \\ d_5 &= 0.004851466 & d_6 &= 0.001903218 & d_7 &= -0.017122914 & d_8 &= 0.029064067 \\ d_9 &= -0.027928955 & d_{10} &= 0.016497308 & d_{11} &= -0.005598515 & d_{12} &= 0.000838386 \end{aligned}$$

จากข้างต้นเป็นการประมาณค่าทรานซิชันฟังก์ชันในรูปแบบหนึ่งที่น่าสนใจในวิทยานิพนธ์นี้ สำหรับการประมาณค่าฟังก์ชันทรานซิชันในรูปแบบอื่นสามารถดูรายละเอียดเพิ่มเติมได้ใน An Approximation to the Fresnel Integral (G. L. James, 1979) และ Fresnel-Integral Approximation (1995)

ภาคผนวก ฉ.

การตรวจสอบอัลกอริทึมของกรรมวิธีเชิงเลข

การตรวจสอบอัลกอริทึมของกรรมวิธีเชิงเลข

จากการวิเคราะห์หาขีดจำกัดเกี่ยวกับสมรรถนะของระบบสายอากาศชนิดจานสะท้อนเดี่ยวรูปพาราโบลา เช่น แบบรูปการแผ่พลังงานย่านสนามไกล และอัตราขยายนั้นต้องใช้วิธีการเชิงเลขในการประมาณค่าอินทิเกรตชั้น 2 ชั้น โดยในที่นี้ได้นำเอาวิธีการของซิมป์สัน (Simpson method) มาใช้ในการประมาณ ดังนั้นเพื่อให้ผลของการประมาณเชิงเลขมีความถูกต้อง และอยู่ในเกณฑ์ที่เชื่อถือได้ อัลกอริทึมของการอินทิเกรตที่ใช้ต้องทดสอบเพื่อหาค่าที่เหมาะสมในการแบ่งส่วนย่อยของการอินทิเกรต ซึ่งในที่นี้ได้ทำการตรวจสอบโดยทำการอินทิเกรตสนามที่มีการกระจายสม่ำเสมอทั้งขนาดและเฟสบนระนาบหน้าจานที่มีขนาดเท่ากับภาพฉายของจานสะท้อนที่มีเส้นผ่านศูนย์กลางเท่ากับ  $10\lambda$  เพื่อหาแบบรูปการแผ่พลังงานย่านสนามไกลดังสมการ (ฉ.1)

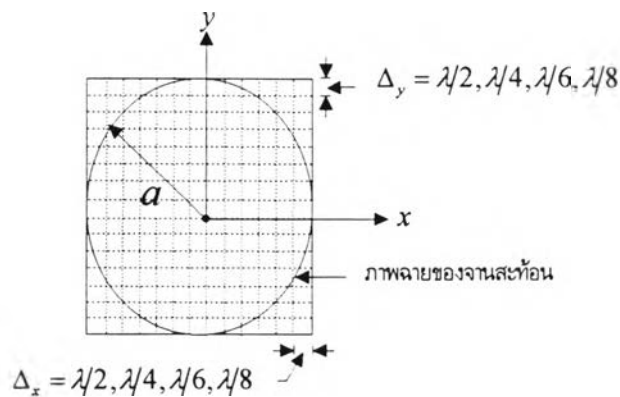
$$\bar{E}(r, \theta, \phi) = jk \frac{e^{-jkr}}{2\pi r} \left[ (f_x \cos \phi + f_y \sin \phi) \bar{a}_\theta + (f_y \cos \phi - f_x \sin \phi) \cos \theta \bar{a}_\phi \right] \quad (\text{ฉ.1})$$

โดยที่

$$f_x(k_x, k_y) = \iint_{S_a} E_{ax}(x, y, 0) e^{jk_x x + jk_y y} dx dy$$

$$f_y(k_x, k_y) = \iint_{S_a} E_{ay}(x, y, 0) e^{jk_x x + jk_y y} dx dy$$

และ  $k_x = k \sin \theta \cos \phi$  และ  $k_y = k \sin \theta \sin \phi$  และ  $E_a = E_o \bar{a}_y$  ภายในบริเวณภาพฉายของจานสะท้อนและเป็นศูนย์ภายนอกบริเวณภาพฉาย โดยแบ่งส่วนย่อยของการอินทิเกรตเป็น  $\lambda/2, \lambda/4, \lambda/6$  และ  $\lambda/8$  ดังรูป ฉ.1

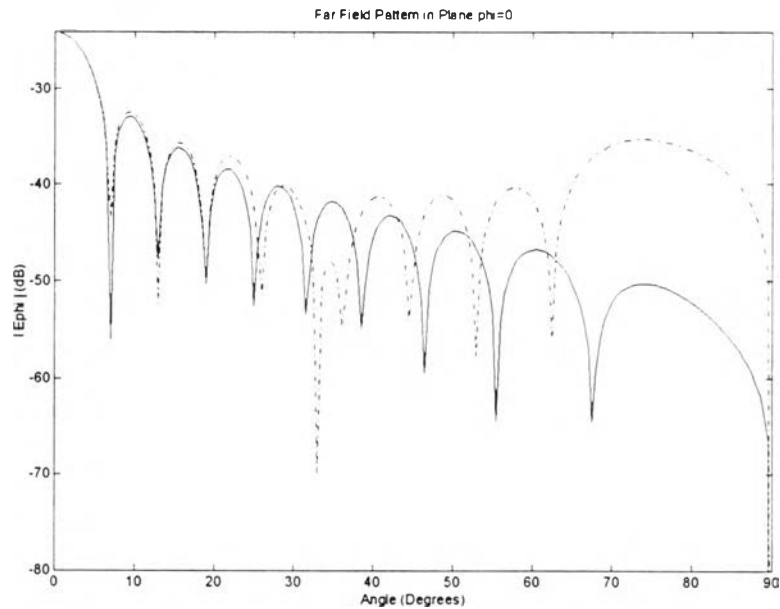


รูป ฉ.1 การแบ่งส่วนย่อยของสนามบนระนาบหน้าจานเพื่อคำนวณแบบรูปการแผ่พลังงานย่านสนามไกล โดยวิธีการของซิมป์สัน ซึ่งแบ่งส่วนย่อยของการอินทิเกรตเป็น  $\lambda/2, \lambda/4, \lambda/6$  และ  $\lambda/8$

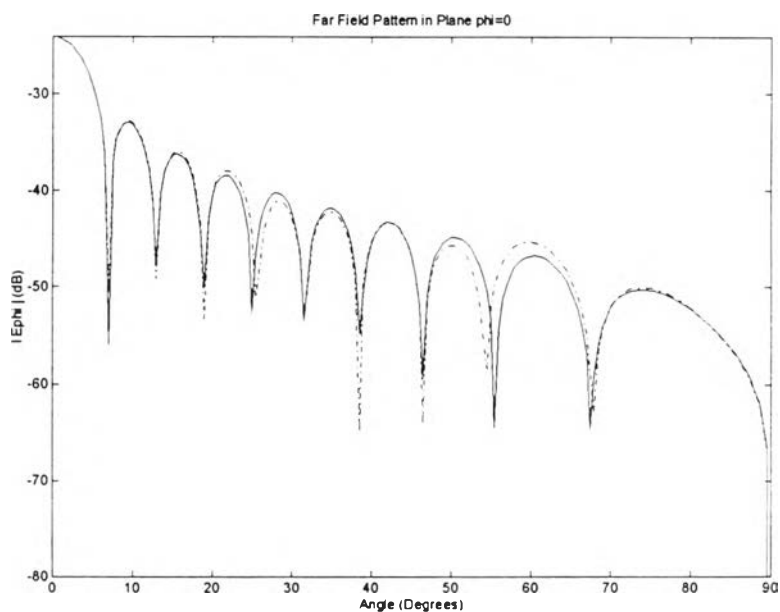


และเปรียบเทียบกับผลเฉลยแม่นยำตรงดั่งสมการ (ฉ.2) (R.E. Collin, 1985)

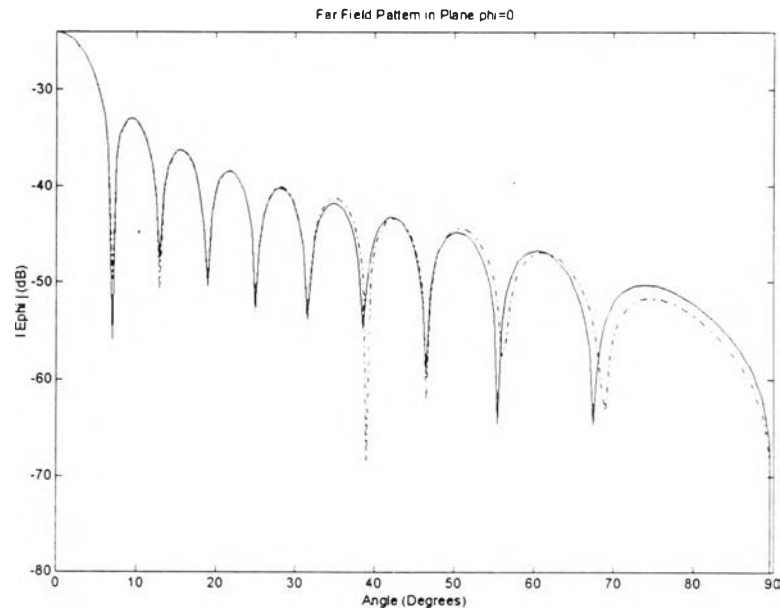
$$\vec{E}(r, \theta, \phi) = jk \frac{e^{-jkr}}{2\pi r} E_o 2\pi a^2 \left[ \frac{J_1(ka \sin \theta)}{ka \sin \theta} \sin \phi \vec{a}_\theta + \frac{J_1(ka \sin \theta)}{ka \sin \theta} \cos \theta \cos \phi \vec{a}_\phi \right] \quad (\text{ฉ.2})$$



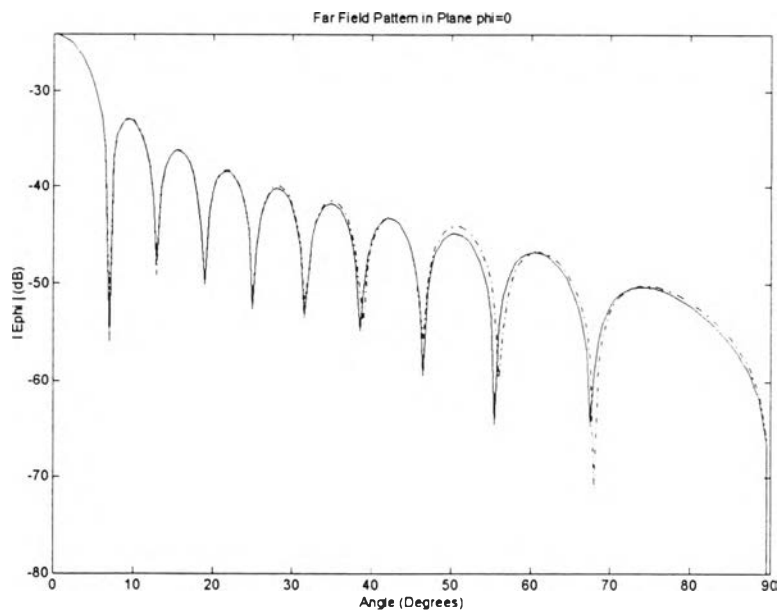
รูป ฉ.2 การประมาณการอินทิเกรต 2 ชั้นเพื่อคำนวณแบบรูปการแผ่พลังงานย่านสนามไกลโดยวิธีการของซิมป์สัน ซึ่งแบ่งส่วนย่อยเท่ากับ  $\lambda/2$  ( - - - - - ) เปรียบเทียบกับผลเฉลยแม่นยำตรง ( ——— )



รูป ฉ.3 การประมาณการอินทิเกรต 2 ชั้นเพื่อคำนวณแบบรูปการแผ่พลังงานย่านสนามไกลโดยวิธีการของซิมป์สัน ซึ่งแบ่งส่วนย่อยเท่ากับ  $\lambda/4$  ( - - - - - ) เปรียบเทียบกับผลเฉลยแม่นยำตรง ( ——— )



รูป จ.4 การประมาณการอินทิกรัล 2 ชั้นเพื่อคำนวณแบบรูปการแผ่พลังงานย่านสนามไกลโดยวิธีการของซิมป์สัน ซึ่งแบ่งส่วนย่อยเท่ากับ  $\lambda/6$  ( - - - - - ) เปรียบเทียบกับผลเฉลยแม่นยำตรง ( ——— )



รูป จ.5 การประมาณการอินทิกรัล 2 ชั้นเพื่อคำนวณแบบรูปการแผ่พลังงานย่านสนามไกลโดยวิธีการของซิมป์สัน ซึ่งแบ่งส่วนย่อยเท่ากับ  $\lambda/8$  ( - - - - - ) เปรียบเทียบกับผลเฉลยแม่นยำตรง ( ——— )

จากรูป จ.2 พบว่า การแบ่งส่วนย่อยเท่ากับ  $\lambda/2$  สามารถประมาณค่าอินทิกรัล 2 ชั้นในการคำนวณหาแบบรูปการแผ่พลังงานได้แม่นยำภายในช่วงตำแหน่งเชิงมุมประมาณ 20 องศา และจากรูป จ.3 พบว่า การแบ่งส่วนย่อยเท่ากับ  $\lambda/4$  สามารถประมาณค่าอินทิกรัล 2 ชั้นในการคำนวณหาแบบรูปการแผ่พลังงานได้แม่นยำภายในช่วงตำแหน่งเชิงมุมประมาณ 45 องศา และจากรูป จ.4 พบว่า การแบ่งส่วนย่อยเท่ากับ  $\lambda/6$  สามารถประมาณค่าอินทิกรัล 2 ชั้นในการคำนวณหาแบบรูปการแผ่

พลังงานได้แม่นยำภายในช่วงตำแหน่งเชิงมุมประมาณ 60 องศา และการแบ่งส่วนย่อยเท่ากับ  $1/8$  ในรูป จ.5 สามารถประมาณค่าอินทิกรัล 2 ชั้นในการคำนวณหาแบบรูปการแผ่พลังงานใกล้เคียงกับผลเฉลยแม่นยำตรงในเกณฑ์ที่เชื่อถือได้ถึงตำแหน่งเชิงมุม 90 องศา ดังนั้นในการใช้อัลกอริทึมในการอินทิเกรต 2 ชั้นโดยวิธีการของซิมป์สันเพื่อคำนวณหาแบบรูปการแผ่พลังงานเพื่อให้ครอบคลุมถึงตำแหน่งเชิงมุมไกล ๆ ในวิทยานิพนธ์นี้จึงเลือกการแบ่งส่วนย่อยบนระนาบหน้างานเป็น  $1/8$

จากการตรวจสอบอัลกอริทึมของกรรมวิธีเชิงเลขที่ใช้ในการอินทิเกรต 2 ชั้นข้างต้น พบว่า การคำนวณแบบรูปการแผ่พลังงานย่านสนามไกลของระบบสายอากาศชนิดจานสะท้อนเดี่ยวรูปพาราโบลิกนั้น เราสามารถปรับการแบ่งส่วนย่อยเพื่อทำให้การคำนวณเร็วขึ้นได้ขึ้นอยู่กับการนำไปประยุกต์ใช้งานว่าแบบรูปการแผ่พลังงานที่ต้องการนั้น ต้องการความแม่นยำถึงตำแหน่งเชิงมุมเท่าไร

## ประวัติผู้เขียน

นายสุภเชษฐ์ เพิ่มพูนวัฒนาสุข เกิดวันที่ 18 มีนาคม พ.ศ. 2515 ที่อำเภอคลองสาน จังหวัดกรุงเทพมหานคร สำเร็จการศึกษาปริญญาตรีวิศวกรรมศาสตรบัณฑิต สาขาวิศวกรรมไฟฟ้า ภาควิชาวิศวกรรมไฟฟ้า คณะวิศวกรรมศาสตร์ จุฬาลงกรณ์มหาวิทยาลัย ในปีการศึกษา 2536 และเข้าศึกษาต่อในหลักสูตรวิศวกรรมศาสตรมหาบัณฑิต สาขาวิศวกรรมไฟฟ้า ภาควิชาวิศวกรรมไฟฟ้า คณะวิศวกรรมศาสตร์ จุฬาลงกรณ์มหาวิทยาลัย เมื่อพ.ศ. 2537 โดยได้รับทุนการวิจัยจากโครงการ ศิษย์ก้นกุฎี ซึ่งเป็นโครงการความร่วมมือในการพัฒนาการศึกษาด้านวิศวกรรมศาสตรระดับบัณฑิตศึกษาระหว่างจุฬาลงกรณ์มหาวิทยาลัยกับสำนักงานพัฒนาวิทยาศาสตร์และเทคโนโลยีแห่งชาติ (สวทช.)

พ.ศ. 2538 ได้นำเสนอผลงานวิจัยที่เป็นส่วนหนึ่งของวิทยานิพนธ์ฉบับนี้ในการประชุมทางวิชาการวิศวกรรมไฟฟ้า ครั้งที่ 18 ณ โรงแรมแอมบาสเดอร์ซีดี จอมเทียน พัทยา จังหวัดชลบุรี

